

مدلسازی پل‌ها با استفاده از قطعه‌بندی ابر نقاط حاصل از پهپاد فتوگرامتری

منصور مهران‌فر^۱، حسین عارفی^{۲*}، فاطمه علی‌دوست^۳

۱- دانشجوی کارشناسی ارشد فتوگرامتری، دانشکده مهندسی نقشه‌برداری و اطلاعات مکانی، پردیس دانشکده‌های فنی، دانشگاه تهران

۲- استادیار دانشکده مهندسی نقشه‌برداری و اطلاعات مکانی، پردیس دانشکده‌های فنی، دانشگاه تهران

۳- دکترای فتوگرامتری، دانشگاه علوم کاربردی اشتوتگارت

تاریخ دریافت مقاله: ۱۴۰۰/۰۹/۲۹ تاریخ پذیرش مقاله: ۱۳۹۹/۰۹/۲۹

چکیده

در سال‌های اخیر، تلاش‌های بسیاری جهت دستیابی به مدل‌های سه بعدی عوارض شهری در حوزه فتوگرامتری و سنجش از دور صورت پذیرفته است که در این میان، عنصر پل به عنوان یکی از مهمترین سازه‌های شهری، علیرغم اهمیت فراوان در زمینه حمل و نقل، به دلیل پیچیدگی هندسی و ساختاری از این امر مستثنی بوده است. با توجه به پیشرفت فناوری پهپاد در اخذ داده‌های مکانی، در این مطالعه، از ابر نقاط حاصل از تصاویر پهپاد برای مدلسازی سه بعدی چهار قطعه اصلی سازه پل شامل نرده، بدنه، پایه و کوله‌ها استفاده می‌شود. بدین منظور، با بکارگیری دانش موجود در شکل و ساختار پل‌ها و روابط هندسی بین المان‌های تشکیل‌دهنده آنها، الگوریتمی دانش‌مبنای ارائه می‌شود که می‌تواند مدل سه بعدی انواع پل را با فرمت مناسب برای پایگاه داده‌های مکانی فراهم نماید. ابتدا، به منظور قطعه‌بندی ابرنقاطه پل، از روش خوشبندی فازی (fuzzy c-means) به همراه مقادیر ارتقایی، طیفی و ویژگی‌های مستخرج ابرنقاط نظری چگالی سه بعدی، مقادیر بردار نرمال و قید هم‌صفحه‌ای (planarity) استفاده می‌شود. سپس از روش مدلسازی نگاشت مبنای که متناسب با ویژگی‌های هندسی و ساختاری هر قطعه از پل است، برای بازسازی مدل سه بعدی آن قطعه استفاده می‌گردد. روند مدلسازی شامل نگاشت ابرنقاط به فضای دو بعدی، برازش مدل‌های هندسی پایه به نقاط و تعیین موقعیت نقاط مبنای در فضای دو بعدی و سپس گسترش آنها به فضای سه بعدی می‌باشد. جهت ارزیابی روش پیشنهادی، ابعاد المان‌های سازه‌ای موجود در پلان‌های طراحی پل با ابعاد المان‌ها در مدل سه بعدی مقایسه می‌شوند. علیرغم وجود چالش‌های بسیار در مدلسازی، نتایج حاصله در این تحقیق، حاکی از دقت و توانایی بالای الگوریتم پیشنهادی در مدلسازی سه بعدی پل‌ها با هندسه و طراحی‌های مختلف می‌باشد، به طوری که برای داده‌های مطالعاتی، متوسط خطای میانگین و انحراف معیار برابر 0.03 و 0.01 متر است.

کلید واژه‌ها : فتوگرامتری، مدلسازی سه بعدی، پل، الگوریتم نگاشت مبنای، ابرنقاط پهپاد.

* نویسنده مکاتبه کننده: گروه فتوگرامتری و سنجش از دور، دانشکده مهندسی نقشه‌برداری و اطلاعات مکانی، پردیس دانشکده‌های فنی، دانشگاه تهران، تهران، ایران.

تلفن: ۰۲۱-۱۱۴۵۲۳-۶۱

۱- مقدمه

موجود در داده‌های مورد استفاده نظری نویز و گپ، با چالش‌های بسیاری همراه بوده است که همین امر سبب عدم توجه مورد انتظار محققان و پژوهشگران حوزه مدلسازی به ارائه الگوریتم و راهکاری در این زمینه گردیده است. در این تحقیق، قصد داریم با استفاده از دانش موجود در هندسه پل‌های شهری، الگوریتمی را به منظور مدلسازی سه‌بعدی پل از داده ابرنقطه حاصل از تصاویر پهپاد فتوگرامتری ارائه دهیم. این دانش شامل بررسی هندسه هر یک از اجزاء پل بطور جداگانه و همچنین روابط هندسی موجود در زمان اتصال اجزاء مختلف به یکدیگر می‌باشد. اساس الگوریتم مدلسازی پیشنهادی، استفاده از روش مدلسازی نگاشت مینا تشكیل مدل‌های دو بعدی هریک از قطعات اصلی سازه پل از داده ابرنقطه حاصل از تصاویر پهپاد و سپس گسترش آنها به فضای سه‌بعدی می‌باشد. تولید ابرنقطه از تصاویر پهپاد بر مبنای روش تناظریابی تصویری در مناطق همپوشانی، یک روش مقرر به صرفه و در دسترس نسبت به سایر روش‌های جمع آوری و تولید ابرنقطه نظری لیزر اسکنرهای زمینی و دستی می‌باشد [۴/۵]. همچنین در روش پیشنهادی، عمدۀ پردازش‌ها در فضای دو بعدی و بر روی نقاط هر قطعه صورت می‌پذیرد. تشكیل مدل دو بعدی سطح مقطع قطعات و سپس گسترش آن در فضای سه‌بعدی، علاوه بر ساده سازی فرآیند بازسازی مدل سه‌بعدی، منجر به افزایش دقت و سرعت پردازش-ها می‌گردد [۶]. به دلیل وجود چالش‌هایی نظری نویز و گپ در داده ابرنقطه تولید شده از تصاویر پهپاد، در فرآیند مدلسازی قطعات، از روش‌های مختلفی نظری پیش پردازش، تصحیحات هندسی و بهینه‌سازی مدل به منظور کاهش حدکثری میزان تاثیر چالش‌های مذکور در کیفیت و دقت مدل سه‌بعدی نهایی استفاده می‌گردد.

۲- پیشینه تحقیق

با وجود پیشرفت در حوزه مهندسی طراحی و مواد، بخش گسترده‌ای از سازه‌های پل با گذشت زمان و به

پل‌ها از جمله مهمترین زیرساخت‌های شهری هستند که به عنوان یک عنصر تاثیرگذار در پژوهش‌های شهر هوشمند مطرح می‌شوند. این اهمیت ناشی از نقش بسیار حساس آنها در حمل و نقل و ارتباطات جاده‌ای و ریلی، مرتبط نمودن قسمت‌های مختلف شهرها به یکدیگر و همچنین عبور از موانع فیزیکی در شرایط توبوگرافی خاص می‌باشد. پایش و کنترل وضعیت پل‌ها از لحاظ کیفی و سازه‌ای به جهت واستگی‌های شبکه ارتباطی و نظام حمل و نقل خصوصاً در موقعیت‌های بحرانی و همچنین هزینه‌های مالی ناشی از خارج شدن هر پل از این شبکه، سبب شده است تا بحث مدیریت و نگهداری اصولی از سازه‌های پل توسط سیستم مدیریت پل^۱ در کشورهای پیشرفته و در حال توسعه از جنبه‌های متفاوتی قابل بررسی باشد [۷/۸]. به روزرسانی پایگاه داده‌های مکانی به دلیل تغییر عوارض توبوگرافی و ساخت دست بشر در طی گذر زمان و همچنین نیاز کشورها و سازمان‌های مدیریت منابع به اطلاعات مکانی دقیق و آنی به لحاظ کاربرد این داده‌ها در حوزه‌های مختلف مدیریت، برنامه‌ریزی، نگهداری و توسعه سبب شده است تا امروزه مدلسازی خودکار و یا نیمه خودکار عوارض شهری و دست یابی به اطلاعات مکانی دقیق به یکی از مهمترین موضوعات در جوامع فتوگرامتری و سنجش از دور تبدیل شود [۲/۳]. مدل‌های سه بعدی سازه‌های شهری همواره از مهمترین و پرکاربردترین ابزارها در جهت مدیریت، برنامه‌ریزی و نگهداری آنها بوده‌اند و ارائه یک مدل سه بعدی دقیق با فرمت مناسب در حوزه علوم مکانی، روند دست یابی به اهداف تعیین شده را تسهیل می‌نماید. در این راستا فرآیند مدلسازی جزئیات هندسی پل‌ها با توجه به پیچیدگی هندسی و ساختاری در المان‌های سازه‌ای طراحی شده در ساخت آنها و همچنین مشکلات

^۱ Bridge Management System

نویز با استفاده از یک فیلتر مبتنی بر تراکم نقاط، شناسایی و حذف شدند. سپس، میزان دقت و توانایی دو الگوریتم قطعه‌بندی یادگیری بدون نظارت *k-means* و رشد ناحیه‌ای جهت استخراج نقاط مربوط به عرشه پل مورد ارزیابی قرار گرفت و مشخص گردید که روش قطعه‌بندی مبتنی بر رشد ناحیه‌ای با دقต ۹۵٪ در شناسایی نقاط عرشه پل، دارای سطح اطمینان و توانایی بالاتری نسبت به الگوریتم یادگیری بدون نظارت *k-means* است [۱۰]. در مطالعه دیگری توسط یو و همکاران (۲۰۱۹)، پس از تولید ابرنقطه از تصاویر پهپاد، اجزاء و المان‌های سازه‌ای پل بر اساس ویژگی‌های هندسی و با استفاده از یک روش قطعه‌بندی مبتنی بر ساختار سوپرپیکسل و بهینه سازی گراف‌مبنا، شناسایی گردیدند. با استفاده از درخت طبقه‌بندی و هندسه پل، المان‌های ساختاری مختلف از قطعه‌های به دست آمده شناسایی و در نهایت، مدل‌های سطحی آنها تولید شدند. طبق نتایج بدست آمده در این مطالعه، فرآیندهای شناسایی و قطعه‌بندی المان‌های سازه‌ای پل با دقیقی بیش از ۸۰٪ صورت پذیرفت. [۱۱]. لغو همکاران (۲۰۱۹) الگوریتمی به منظور شناسایی خودکار المان‌های سازه‌ای پل‌های بتن مسلح شهری از داده ابرنقطه لیزر اسکنر زمینی ارائه نمودند. در این پژوهش، چهار المان سازه‌ای نظری دال بتنی، پایه پل، کلاهک پایه پل (سر ستون) و شاه تیر از ابر نقاط با استفاده از الگوریتمی تحت عنوان برش^۱ و همچنین مقادیر بردار نرمال بر سطح و هیستوگرام تراکم نقاط شناسایی شدند. ارزیابی نتایج حاصل از اجرا روش پیشنهادی بر روی مجموعه ابرنقاط ۱۰ پل بتن مسلح، نشان‌دهنده دقت ۱۰۰٪ و همچنین سطح اتماسیون بالا الگوریتم ارائه شده در شناسایی المان‌های سازه‌ای پل می‌باشد [۱۲]. به جهت بررسی میزان جابه‌جایی و تخریب در بخش‌های مختلف یک پل، یه و همکاران

دلال مختلفی از جمله عدم توجه به معیارهای هیدرولیکی در طراحی، شرایط محیطی نامطلوب و بار ترافیکی سنگین، دچار ضایعه و تخریب شده‌اند. در این رابطه، نگهداری اصولی و بهنگام ازسازه پل، علاوه بر افزایش طول عمر و سطح ایمنی سازه، سبب کاهش هزینه‌های تعمیر و بازسازی می‌گردد [۷]. در سال‌های اخیر با پیشرفت چشمگیر فناوری‌هایی نظیر اسکنرهای لیزری، پرنده‌های بدون سرنشین (پهپاد) و همچنین آگاهی فعالان حوزه ایمنی و مهندسی با کاربردهای علم فتوگرامتری در زمینه بازرسی و ارزیابی میزان تخریب سازه‌های پل، تقاضاهای بسیاری برای جمع‌آوری داده‌های مکانی و مدلسازی سازه‌های پل توسط مدیران و برنامه‌ریزان شهری ارائه شده است. به همین جهت کاسمین و همکاران (۲۰۱۹) در مطالعه‌ای به بررسی عملکرد سه فناوری اخذ داده مختلف نظیر لیزر اسکنر زمینی، فتوگرامتری برد کوتاه و اسکنر مادون قرمز در مدلسازی هندسی ساختارهای سه بعدی پل‌های بتنی پرداختند [۸]. همچنین، پهپاد جهت بررسی کارگیری همزمان دو فناوری لیزر اسکنر زمینی و پهپاد فتوگرامتری به بررسی سه‌بعدی و پایش پل‌ها پرداختند. در این مطالعه از فناوری پهپاد جهت بررسی قسمت‌های فوقانی و جانبی پل که برداشت اطلاعات و جزئیات آن‌ها از طریق لیزر اسکنر زمینی میسر نبود، استفاده شده است [۹]. توسعه الگوریتم‌های دقیق و کارآمد به منظور قطعه‌بندی صحیح المان‌های سازه پل، ابزاری مناسب جهت استفاده در فرآیند مدلسازی هندسی قطعات آن می‌باشد. چن و همکاران (۲۰۱۸) روشی جهت تولید ابرنقطه متراکم از تصاویر پهپاد بر اساس روش ساختار ناشی از حرکت (*SFM*^۱) و همچنین قطعه‌بندی آن، به منظور بازرسی و کنترل عرشه پل‌ها ارائه نمودند. در این روش، ابتدا داده‌های

^۱ *Slicing Algorithm*

^۱ *Structure from Motion*

تحلیل مؤلفه‌های اصلی، تولید مدل مش سه بعدی از نقاط هر کلاس و در نهایت تولید مدل براساس طبقه بندی های بنیاد صنعت (^۱ IFC) می‌باشد. بررسی نتایج بدست آمده نشان دهنده دقیقی برابر با ۸۲٪ در روش طبقه بندی ابرنقاط مورد استفاده در این الگوریتم می‌باشد.^(۱۵)

با بررسی مطالعات پیشین مشخص گردید که مدلسازی سازه پل با استفاده از داده ابرنقاط، اصولاً شامل دو بخش قطعه‌بندی ابرنقشه و مدلسازی هر قطعه و سپس تجمعی مدل‌های قطعات برای تولید مدل یکپارچه نهایی است. با اینحال به دلیل پیچیدگی و تنوع شکل هندسی اجزای تشکیل دهنده پل به خصوص بدنه یا عرشه پل و همچنین مشکلات موجود در داده‌های مورد استفاده، روش منحصر به فردی برای مدلسازی که قابل استفاده برای انواع سازه‌های پل باشد، ارائه نشده است. لذا در این تحقیق، یک روش دانش‌منابعی ارائه می‌شود که:

- بر اساس مدلسازی نگاشتمبنا جهت کاهش پیچیدگی‌های هندسی پل در فضای سه بعدی است،
- برای انواع سازه‌های پل قابل تعمیم و پیاده‌سازی است،
- دارای دقت بهینه در داده‌هایی با نویز و نقص^۲ است،
- مدل نهایی را با فرمت مناسب برای نرم‌افزارهای داده‌های مکانی نظری سیستم اطلاعات مکانی (GIS)^۳ و کد (CAD)^۴ فراهم می‌نماید.

۳- روش پیشنهادی

بر اساس آیین نامه‌ها و ضوابط طراحی پل، المان‌های

(۲۰۱۸) راهکاری ساده و در عین حال کاربردی ارائه نمودند. در این روش، ابتدا ابرنقشه پل قطعه‌بندی گردیده و نقاط مربوط به هر یک از اجزاء المان‌های سازه‌ای شناسایی و تفکیک می‌شوند. سپس به نقاط مربوط به هر یک از قطعات اشکال هندسی پایه نظری صفحه، استوانه، خط و کمان برآذش داده می‌شود. در ادامه با بررسی اختلاف میان اشکال هندسی برآذش داده شده و نقاط هر یک از قطعات، موقعیت و میزان تخریب هر یک از بخش‌های پل شناسایی می‌گردد. این الگوریتم امکان محاسبه میزان جابجایی‌های نسبی افقی و عمودی المان‌های سازه ای را با دقیقی در محدوده سانتی متر فراهم می‌سازد^(۱۳). یان و همکاران (۲۰۱۷) الگوریتمی خودکار جهت ساخت مدل‌های المان‌های پل با استفاده از داده لیزر اسکنر سه‌بعدی و تکنیک‌های بینایی ماشین ارائه دادند. در این روش، ابتدا ابرنقشه با استفاده از روش قطعه بندی مبتنی بر رشد ناحیه‌ای به سطوح مختلف قطعه بندی می‌گردد. سپس برای هر یک از قطعات، ویژگی‌هایی نظیر مقادیر بردار نرمال و پارامترهای بهترین صفحه درجه دو، محاسبه می‌شود. برای شناسایی نوع المان هر قطعه، ویژگی‌های محاسبه شده برای هر قطعه با مجموعه ویژگی‌های موجود در یک کتابخانه از پیش تعریف شده، مقایسه می‌گردد. سپس با مشخص شدن قطعات مربوط به اجزاء پل، برای هر قطعه، مدل مش سه‌بعدی تشکیل می‌شود. در این مطالعه دقت تولید مدل‌های مش سه‌بعدی با استفاده از روش‌های وکسل‌منابا دو بعدی و سه‌بعدی به ترتیب برابر با ۹۶٪^۲ و ۹۴٪^۳ عنوان گردید^(۱۴). در پژوهشی دیگر سانچز رودریگز و همکاران (۲۰۲۰)، الگوریتمی خودکار به منظور مدلسازی سه‌بعدی پل از داده لیزر اسکنر زمینی ارائه نمودند. الگوریتم ارائه شده شامل سه بخش کلی طبقه‌بندی ابرنقشه با استفاده از اطلاعات هندسی و تجزیه و

^۱ Industry Foundation Classes

^۲ gap

^۳ Geospatial Information System

^۴ Computer-Aided Design

ارتفاعی المان‌های پل در فضای، به منظور قطعه‌بندی ابر نقاط، روش خوشبندی فازی *c-means* به کار گرفته می‌شود. الگوریتم فازی *c-means* جهت خوشبندی غیرقطعی مجموعه‌ای از داده‌ها براساس کمینه نمودن یک تابع هزینه از معیار عدم تشابه می‌باشد. در این الگوریتم هر نقطه با ماهیت فازی می‌تواند با درجات عضویت متفاوت به بیش از یک گروه تعلق یابد [۱۶ و ۱۷]. رابطه (۱) تابع هزینه مورد استفاده در این الگوریتم را نشان می‌دهد.

$$J = \sum_{i=1}^c J_i = \sum_{i=1}^c \sum_{k=1}^m u_{ik} D(x_k, v_i) \quad (1)$$

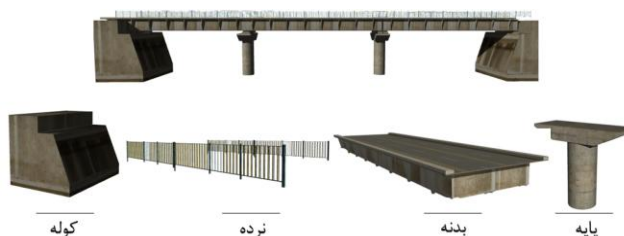
در این رابطه u_{ik} درجه عضویت نقطه k ام در خوشبندی i درجه فازی و D اختلاف میان مقدار داده و مرکز خوشبندی می‌باشد. درجه عضویت هر نقطه عددی بین صفر و یک بوده و لزوماً جمع درجات عضویت هر نقطه باید برابر با یک شود. هدف در این الگوریتم، گروه‌بندی مجموعه داده بصورت n بردار p بعدی در داخل c خوشبندی فازی در مواجهه با داده‌های نویز، میزان دقیق و انطباق پذیری بالا، استفاده از این الگوریتم برای قطعه‌بندی ابرنقطه، روشی مناسب و کارآمد به حساب می‌آید [۱۸ و ۱۹].

تشکیل‌دهنده سازه پل عبارتند از: عرشه شامل بدنه اصلی، دال، تیرها و شاه تیرها؛ یاتاقان‌های عرشه؛ کوله‌پل؛ فونداسیون و پایه‌ها؛ نرده‌ها، گاردriel و جان پناه‌های طرفین پل؛ و کابل‌ها. تمرکز اصلی در این پژوهش بر بازسازی سه بعدی چهار جزء اصلی تشکیل‌دهنده سازه پل‌ها شامل قطعات نرده، بدنه (عرشه، پیاده‌روها، شاه تیرها)، کوله‌ها و پایه‌های پل می‌باشد که در شکل (۱) نشان داده شده است. اگرچه مدلسازی سایر اجزاء مانند خرپاها و کابل‌ها نیز امکان پذیراست اما با توجه به اینکه هندسه این اجزاء براساس ضوابط طراحی سازه در پل‌های مختلف متفاوت است، این امر سبب کاهش سطح اتواماسیون الگوریتم پیشنهادی می‌گردید. لذا در این تحقیق، از مدلسازی این اجزاء صرف نظر شده است.

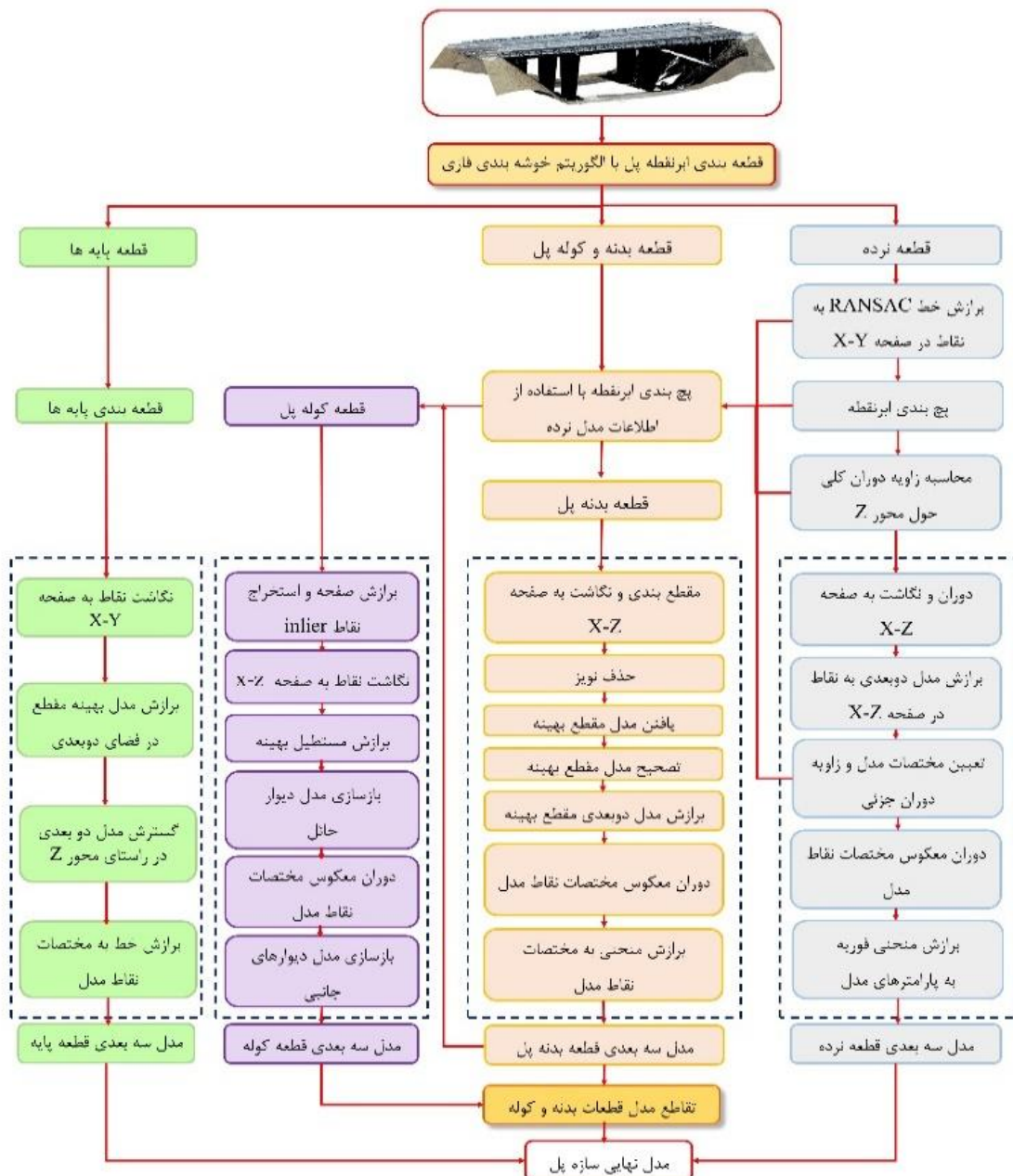
در شکل (۲)، روند کار روش دانش‌منابا پیشنهادی به منظور مدلسازی سه‌بعدی پل با استفاده از ابر نقاط پهپاد و الگوریتم نگاشت مینما ارائه شده است که شامل دو بخش قطعه‌بندی ابر نقاط و سپس مدلسازی هر قطعه به صورت جداگانه و در نهایت، اتصال مدل‌های هر قطعه به یکدیگر است. در ادامه، جزئیات هر بخش ارائه می‌شود.

۱-۳- قطعه‌بندی ابرنقطه پل

با توجه به نحوه اتصال و قرارگیری سلسله مراتبی -



شکل ۱: اجزاء اصلی تشکیل‌دهنده سازه پل



شکل ۲: روش پیشنهادی به منظور بازسازی مدل‌های سه بعدی پل‌ها با استفاده از الگوریتم نگاشت مبنا

فرآیند قطعه‌بندی برابر با چهار می‌باشد که عبارت اند از قطعه نرده، بدن، پایه‌ها و سایر بخش‌های پل (زمین طبیعی و خاکریز). ویژگی‌های مورد استفاده در فرآیند

برای تشكیل مدل سه بعدی پل، قطعات نرده، بدن و پایه‌ها از ابر نقطه و با استفاده از الگوریتم فازی استخراج می‌شوند. قطعه مربوط به کوله پل پس از اتمام مرحله مدل‌سازی بدن و کوله پل، از ابر نقطه اصلی استخراج می‌گردد. لذا تعداد خوش‌های موردنیاز در

باشد. با توجه به اینکه هدف این تحقیق، ارائه الگوریتمی خودکار جهت مدلسازی انواع پل‌های شهری می‌باشد، برای بازسازی سه‌بعدی مدل نرده در تمامی انواع پل‌ها، از روش برازش مدل مکعب مستطیل به ابرنقطه قطعه نرده بر مبنای الگوریتم نگاشت مینا^۲ استفاده می‌نماییم. مدلسازی نگاشت مینا المان‌های خطی نخستین بار توسط صاحب‌دیوانی و همکاران (۲۰۲۰) در بحث بازسازی هندسی مدل سه‌بعدی خطوط ریلی راه‌آهن از داده ابرنقطه رنگی حاصل از تصاویر پهپاد ارائه گردید^[۶]. در این تحقیق، با الهام از مقاله [۶]، بازسازی مدل سه‌بعدی قطعات نرده طرفین پل که هر کدام یک المان خطی مجزا می‌باشند؛ انجام خواهد شد. بدین منظور، ابتدا با استفاده از برازش خط بر اساس الگوریتم رنسک^۳، نقاط هر یک از نرده‌های طرفین پل در فضای قطعه نرده شناسایی و استخراج می‌گرددند. سپس با هدف افزایش دقیقی در مرحله برازش مدل نرده و همچنین نمایش بهتر انحنای افقی و عمودی در مدل نهایی نرده، نقاط هر یک از نرده‌ها، پچبندی گردیده و به بخش‌های کوچکتر تفکیک می‌گرددند. برای برازش دقیق و صحیح مدل دو بعدی بر مبنای الگوریتم نگاشت مینا، پچ‌های استخراج شده بایستی دوران داده شوند تا بهترین نگاشت را در صفحه X-Z داشته باشند. بنابراین در هر پچ با محاسبه زاویه بین خطوط RANSAC برازش داده شده به نقاط و محور Y، زاویه کلی دوران نقاط حول محور Z به دست می‌آید. پس از پچبندی ابرنقطه نرده و محاسبه زوایای دوران کلی، نقاط هر پچ دوران داده شده و سپس به صفحه X-Z نگاشت داده می‌شوند. سپس صفحه ای دو بعدی به عنوان مدل مقطع نرده به نقاط موجود در صفحه X-Z برازش داده می‌شود. شکل (۳) دوران نقاط هر پچ حول محور Z با استفاده از زاویه کلی دوران مربوطه را نشان

^۲ Projection-based^۳ RANSAC

قطعه‌بندی شامل مقادیر ارتفاعی و طیفی، چگالی سه‌بعدی، مقادیر بردار نرمال و قید هم‌صفحه‌ای^۱ می‌باشد. این ویژگی‌ها با استفاده از نقاط همسایگی موجود در یک فضا کروی یا استوانه‌ای، برای هر نقطه موجود در ابرنقطه بطور جداگانه محاسبه می‌شوند. پارامتر چگالی سه‌بعدی بیان کننده میزان تراکم در همسایگی هر نقطه می‌باشد. همچنین محاسبه مقادیر بردار نرمال در یک نقطه از سطح در فضای ابرنقطه، به کمک محاسبه و تجزیه بردارهای ویژه و مقادیر ویژه ماتریس کواریانس نزدیک‌ترین نقاط همسایه، صورت می‌پذیرد^[۷]. ماتریس کواریانس C برای نقطه‌ای مانند p از طریق رابطه (۲) تعیین می‌گردد:

$$C = \frac{1}{k} \sum_{i=1}^k \cdot (p_i - \bar{p}) \cdot (p_i - \bar{p})^T \quad (2)$$

در رابطه (۲)، k تعداد نقاط در نظر گرفته شده در همسایگی p_i و p مختصات سه‌بعدی نقاط همسایه می‌باشد.

همچنین مقادیر ویژه و بردارهای ویژه از طریق رابطه (۳) محاسبه می‌شوند.

$$c \cdot \vec{v}_j = \lambda_j \cdot \vec{v}_j, j \in \{0, 1, 2\} \quad (3)$$

در رابطه (۳)، λ مقادیر ویژه و v_j بردارهای ویژه می‌باشند. با استفاده از مقادیر ویژه ماتریس کواریانس و به کارگیری رابطه (۴)، ویژگی هندسی قید هم‌صفحه‌ای که اهمیت بالایی در خوش‌بندی نقاط یک صفحه مسطح یا نقاط با تغییرات ارتفاعی اندک می‌باشد، قابل محاسبه است.

$$\text{planarity} = \frac{\lambda_2 - \lambda_3}{\lambda_1} \quad (4)$$

۲-۳- مدلسازی قطعه نرده

عضو سازه‌ای نرده یا ریل دارای انحنای افقی و عمودی در طول پل می‌باشد و بدلیل اتصال آن به بدنه از طریق پیاده‌روها، هرگونه تغییر در مؤلفه‌های انحنای افقی و عمودی آن، نشان‌دهنده تغییرات انحنای بدنه پل می‌باشد.

^۱ Planarity

۳-۳- مدلسازی قطعه بدنه

از آنجا که در فرآیند مدلسازی بدنه پل نیز از الگوریتم نگاشت مبنا استفاده می‌شود، پچ بندی ابر نقاط قطعه بدنه و نگاشت پچ‌ها به فضای دو بعدی، به عنوان گام اولیه در این فرآیند مطرح می‌شود. با دانستن این دانش که قطعه نرده از طریق پیاده‌روها به قطعه بدنه پل متصل بوده و انحنای افقی و عمودی نرده در طول پل نشان دهنده تغییرات انحنای بدنه پل است، می‌توان از اطلاعات مدل نرده جهت پچ‌بندی ابر نقطه قطعه بدنه پل استفاده کرد. این اطلاعات شامل مختصات نقاط ابتدا و انتهای خطوط هر پچ به همراه مقادیر زوایای دوران کلی و جزئی هر پچ می‌باشد. پس از پچ‌بندی ابر نقطه قطعه بدنه، لازم است که ابتدا پچ‌ها مقطع بندی شوند و سپس به فضای X-Z نگاشت یابند. این کار به منظور بالا بردن میزان دقت برآش مدل‌های جزئی در هر پچ و همچنین مدلسازی صحیح بخش هایی از پل مانند قسمت قوس در پل‌های قوسی که شعاع انحنای ثابتی در طول پل دارند، صورت می‌گیرد. همچنین به منظور حذف نقاط نویز موجود در ابر نقطه ورودی، پس از نگاشت نقاط هر مقطع، شبکه‌ای مربعی با ابعاد m برای هر سلول، بر روی نقاط مقطع در نظر گرفته می‌شود. برای هر نقطه که در هر پنجره‌ای از شبکه قرار گرفته است، تعداد نقاط همسایه آن نقطه در پنجره مورد نظر شمارش می‌شود. نقاطهای که تعداد نقاط همسایه آن از یک مقدار آستانه کمتر باشد به عنوان نویز شناخته شده و از فضای ابر نقطه حذف می‌گردد. تعیین مقدار پارامتر m وابسته به تراکم و فاصله بین نقاط در ابر نقطه می‌باشد و معمولاً مقادیری به ترتیب برابر با (10 نقطه) در هر ($2-5$ سانتی متر) در نظر گرفته می‌شوند. در شکل (۴) نقاط نویز موجود در ابر نقطه ورودی قطعه بدنه یک پل را نشان داده شده است.

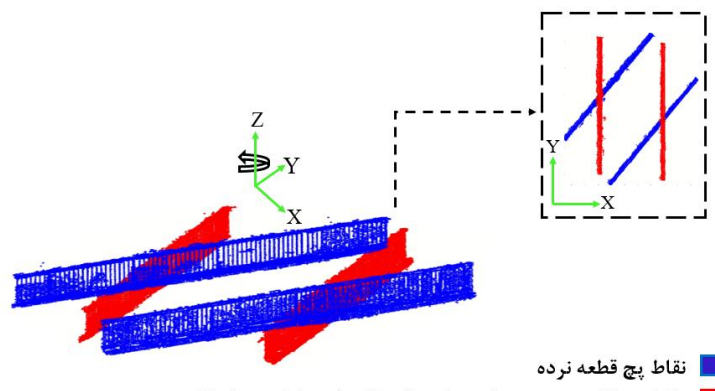
می‌دهد.

علاوه بر دوران کلی نقاط، به علت انحنای موجود در خطوط المان نرده، هر پچ نیز به طور جزئی در بازه‌ای مشخص دوران داده می‌شود. بدین منظور، بهترین مقدار دوران هر پچ با توجه به بیشترین تعداد نقاط موجود در اطراف مدل مقطع، انتخاب می‌گردد. بنابراین در هر پچ سه زاویه دوران محاسبه می‌شود که عبارتند از زاویه دوران کلی حول محور Z زاویه دوران جزئی حول محور $Z(\Delta\alpha_z)$ ، و زاویه دوران جزئی حول محور $X(\Delta\alpha_x)$. پس از برآش مدل دو بعدی، با اضافه کردن مؤلفه Y به مختصات نقاط مدل برآش داده شده، مدل سه بعدی نرده هر پچ بازسازی می‌شود. سپس مدل‌های سه بعدی از طریق دوران معکوس حول محورهای X و Z ، به فضای اولیه ابر نقطه بازگردانی می‌شوند.

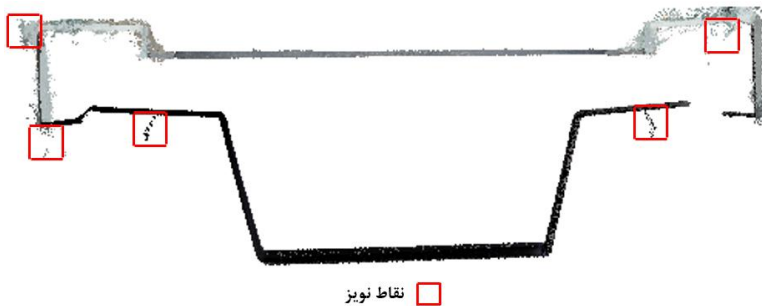
با توجه به اینکه مدل نهایی نرده از اتصال مدل‌های جزئی هر پچ تشکیل می‌شود، در محل اتصال مدل‌ها به یکدیگر تضاریس مشاهده می‌شود. به منظور تصحیح مدل سه بعدی نهایی، برای هر مدل جزئی، پنج پارامتر $\Delta\alpha_z$ ، $\Delta\alpha_x$ ، Z_{YX} و Z_{ZY} با استفاده از درون یابی با تابع فوریه محاسبه می‌شود (رابطه (۵)).

$$P_j(i) = \sum_{k=0}^n (a_k \cos(kwi) + b_k \sin(kwi)) \quad \text{رابطه (۵)}$$

در تابع رابطه (۵)، $Pj:j=[1 \dots 5]$ پنج پارامتر X ، YX و Z از قطعات مدل نرده هستند. n شماره قطعات مدل نرده و w ضرایب مجھول تابع درون یابی و n نیز درجه تابع فوریه می‌باشند. با برآش یک منحنی به هر یک از این پنج پارامتر به صورت مجزا، یک مقدار جدید برای دوران‌های جزئی، کلی و مؤلفه‌های مختصاتی Z_{YX} درونیابی می‌شود که باعث نرم شدن و بهبود مدل در طول مسیر نرده می‌شود. مدل سه بعدی نهایی پس از برآش منحنی، دارای سطحی نرم و یکنواخت می‌باشد که در آن انحنای افقی و عمودی در طول مسیر به خوبی اعمال شده است.



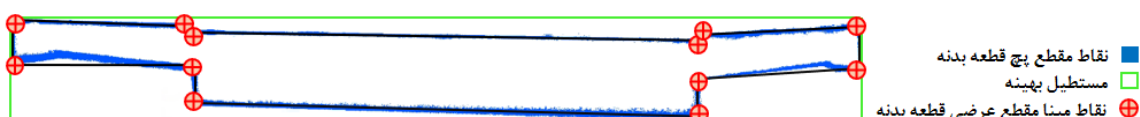
شکل ۳: دوران نقاط هر پچ با محاسبه زاویه بین خطوط RANSAC برازش داده شده به نقاط و محور Y



شکل ۴: نقاط نویز موجود در ابر نقطه ورودی

باشد. اما در واقعیت به دلایل متعدد از جمله نویز موجود در ابر نقطه، گپ و نقصان داده، امکان دست‌یابی به مدل دو بعدی صحیح در کلیه پچ‌ها وجود ندارد. برای حل این مشکل، از میان تمامی مقاطع مدلسازی شده، یک مقطع به عنوان مقطع بهینه انتخاب می‌شود. مقطع بهینه به مقطعی اطلاق می‌گردد که دارای دو شرط باشد: (الف) تعداد نقاط مبنا بدست آمده از مقطع با تعداد صحیح نقاط مبنای موجود در تیپ مقطع (مدل هندسی مقطع عرضی با توجه به المان‌های سازه‌ای طراحی شده) برابر باشد. (ب) خطای ناشی از اختلاف طول اضلاع متناظر مقطع حداقل باشد.

پس از نگاشت نقاط و حذف نویز، مدلسازی دو بعدی هر مقطع از طریق یافتن تعدادی نقطه محدود تحت عنوان "نقاط مبنا" انجام می‌شود. نقاط مبنا، توسط روش‌هایی نظیر یافتن یک مستطیل بهینه برای کل نقاط، برازش خط به نقاط با استفاده از الگوریتم RANSAC، دوران خطوط در فضای دو بعدی و سپس اتصال منظم آن‌ها به یکدیگر صورت می‌پذیرد. شکل (۵) خروجی مدلسازی دو بعدی مقطع قطعه بدنی یک پل از طریق یافتن موقعیت ۱۲ نقطه مبنا را نشان می‌دهد. در شرایط ایده آل، باید امکان استخراج مدل دو بعدی مقاطع عرضی بدنی پل در تمامی پچ‌ها وجود داشته



شکل ۵: مدلسازی دو بعدی مقطع قطعه بدنی از طریق یافتن نقاط مبنا

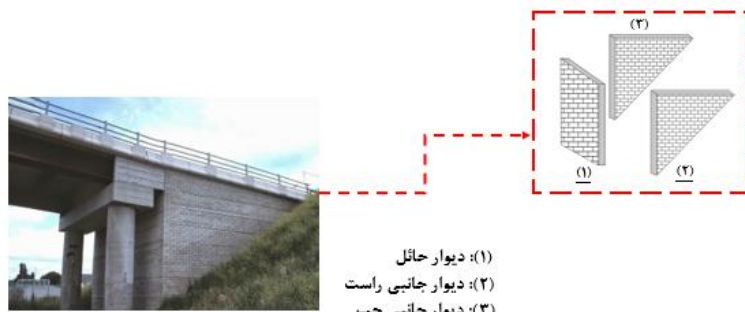
مشاهده گردید که مدل سه بعدی بدنه پل به دیوارهای حائل کوله پل متصل بوده و عرض مقطع دیوار حائل مقداری حداقل برابر با عرض مقطع مدل سه بعدی بدنه پل را دارد. با تکیه بر این دانش، برای جداسازی قطعات کوله از فضای ابرنقطه اصلی، از اطلاعات پنج بندی ابرنقطه بدنه پل و همچنین مدل سه بعدی بازسازی شده آن استفاده می گردد.

جهت مدلسازی سه بعدی دیوار حائل قطعه کوله به روش نگاشت مبنا، ابتدا لازم است نقاط مربوط به بخش دیوار حائل از میان ابرنقطه قطعه کوله استخراج گرددند. بدین منظور با استفاده از الگوریتم RANSAC، به ابرنقطه هر کدام از قطعات کوله یک صفحه برآش داده می شود. نقاط داخل (*inlier*) صفحه برآش داده شده به عنوان نقاط دیوار حائل از قطعات کوله استخراج می گرددند. پس از استخراج نقاط دیوار حائل، این نقاط به صفحه X-Z نگاشت داده شده و سپس یک مستطیل بهینه به آنها برآش داده می شود. با استفاده از روش برآش مستطیل بهینه، موقعیت نقاط مبنای چهار گوشه دیوار حائل تعیین می گردد که در شکل (۷) نشان داده شده است. سپس برای تعیین مؤلفه Y نقاط مبنای و بازگردانی مدل دو بعدی به فضای سه بعدی، از مقادیر مؤلفه Y نقاط *inlier* صفحات برآش داده شده، استفاده می گردد. بدین منظور، با مطالعه و بررسی طراحی المان سازه کوله در پل های متفاوت، مشخص گردید که دیوار حائل المان سازه ای قطعه کوله پل، نسبت به زمین مجاور عموما در دو وضعیت کاملاً قائم و یا مایل قرار دارد. بر اساس این دانش، در وضعیت قائم، مقدار متوسط مؤلفه Y نقاط *inlier* صفحات برآش داده شده، به عنوان مؤلفه Y نقاط مبنا در نظر گرفته می شود. در وضعیت مایل، از مقادیر بیشترین و کمترین مؤلفه Y نقاط *inlier* صفحات برآش داده شده، جهت تعیین مؤلفه Y نقاط مبنا و بازگردانی مدل دو بعدی به فضای سه بعدی استفاده می شود.

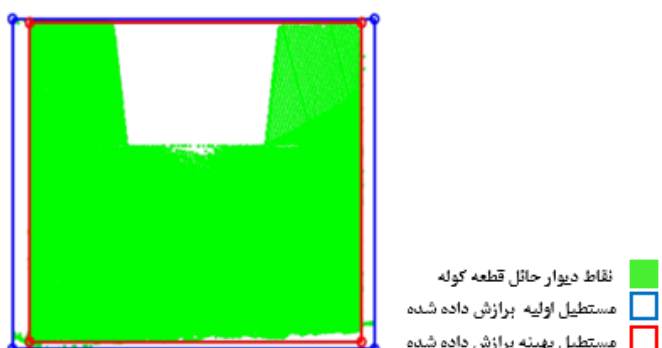
برای تولید مدل سه بعدی مقاطع هر پنج از قطعه بدنه پل، مدل دو بعدی مقطع بهینه به مقاطع هر پنج برآش داده شده و سپس از طریق اضافه کردن مقادیر Y به مختصات نقاط مبنا، مدل مربوطه به فضای سه بعدی برگردانده می شوند. به منظور برآش مدل مقطع بهینه به مقاطع هر پنج، از روش محاسبه پارامترهای انتقال میان دو مقطع (Z-X) به کمک نقاط کنترل استفاده می شود. نقاط کنترل از میان نقاط مبنا انتخاب شده و بیشترین پایداری را نسبت به نیز و گپ موجود در ابرنقطه دارا می باشند. با پایان فرآیند بازسازی مدل سه بعدی مقاطع، نقاط مبنا هر پنج از طریق اعمال دوران معکوس با استفاده از زوایای دوران کلی و جزئی پنج مربوطه، به مختصات اولیه بازگردانه می شوند. پس از آن با اتصال نقاط بازگردانی شده مقاطع تمامی پچ ها به یکدیگر، مدل سه بعدی نهایی قطعه بدنه پل تشکیل می گردد. قطعه بدنه پل نیز مشابه قطعه نرده دارای انحناء افقی و عمودی در طول مسیر پل می باشد. انحناء افقی از طریق پنج بندی ابرنقطه قطعه بدنه پل با استفاده از اطلاعات مدل نرده و انحناء عمودی نیز در طی فرآیند مدلسازی نگاشت مبنا با برآش مدل به نقاط هر پنج در صفحه X-Z و سپس اتصال آنها در فضای سه بعدی قابل بررسی و مدلسازی است. جهت نرم شدن مدل بازسازی شده، اعمال بهتر انحناء افقی و عمودی در طول مسیر قطعه بدنه پل و همچنین کاهش اثرات ناشی از پنج بندی ابرنقطه در محل اتصال مقاطع پچ ها به یکدیگر، از روش برآش منحنی به نقاط مدل استفاده می شود. درجه منحنی متناسب با طول دهنده پل برآش داده شده است.

۴-۳- مدلسازی قطعه کوله

هر یک از قطعات کوله پل، از سه بخش تشکیل شده است که در شکل (۶) نشان داده شده است. این بخش ها شامل یک دیوار حائل و دو دیوار جانبی متصل به آن می باشند. با بررسی طراحی سازه های پل های متفاوت



شکل ۶: بخش‌های اصلی قطعه کوله پل



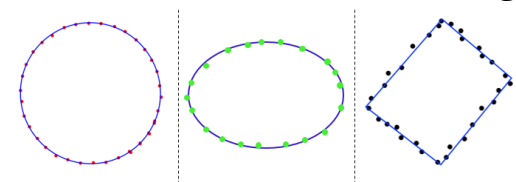
شکل ۷: برازش مستطیل بهینه به نقاط دیوار حائل قطعه کوله

تعیین موقعیت آن، از موقعیت مؤلفه‌های مختصاتی نقاط ابتدا و انتهای مدل سه‌بعدی نرده‌های چپ و راست استفاده می‌شود. بدین ترتیب بر اساس فرض در نظر گرفته شده مدل سه‌بعدی هریک از دیوارهای جانبی قطعات کوله ابتدا و انتهای پل بازسازی می‌گردد. قطعه بدنی باید به دیوارهای حائل ابتدا و انتهای قطعه کوله متصل شود. بدین منظور، لازم است مقاطع ابتدا و انتهای قطعه بدنی با صفحه دیوار حائل ابتدا و انتهای قطعه کوله تلاقی یابند. لذا معادله خط هر یک از نقاط مبنای مشترک مقاطع تشکیل دهنده قطعه بدنی پل تعیین گردیده و سپس با محاسبه مختصات محل برخورد هر یک از خطوط با صفحات دیوار حائل ابتدا و انتهای قطعه کوله پل در فضای سه‌بعدی، مختصات نقاط محل تلاقی و برخورد دو قطعه تعیین گردیده و مدل‌های سه‌بعدی بدنی و کوله به یکدیگر متصل می‌شوند.

دیوارهای جانبی قطعه کوله پل که اصطلاحاً به آنها بال‌های کوله گفته می‌شود، به دیوار حائل قطعه کوله پل متصل بوده و نسبت به زمین مجاور در وضعیتی قائم و یا مایل قرار دارند. با توجه به قرارگیری این دیوار در بخش‌های ابتدا و انتهای پل و در مجاورت زمین‌های اطراف پل، هندسه این دیوارها در فضای ابرنقشه بیشتر بصورت مثلث مشاهده می‌گردد. از این شرایط به عنوان یک فرض برای مدلسازی دیوارهای جانبی استفاده می‌شود. بدین منظور، برای هر کدام از دیوارهای جانبی قطعه کوله پل، سه نقطه مینا در نظر گرفته می‌شود که موقعیت این نقاط مینا در شکل (۸) نشان داده شده است.

با توجه به اتصال دیوارهای جانبی به دیوار حائل، از موقعیت نقاط مینا اضلاع چپ و راست دیوار حائل به عنوان دو نقطه مینا از مدل سه‌بعدی دیوارهای جانبی قطعه کوله پل استفاده می‌شود. از آنجایی که نقطه مینای سوم در موقعیت ابتدا و انتهای پل قرار دارد، برای

پچ که از طریق برآش مدل‌های هندسی پایه نظری دایره، بیضی، چهارضلعی و سپس شمارش تعداد نقاط اطراف مدل تعیین می‌شوند، یک مدل هندسی دو بعدی بهینه به نقاط برآش داده می‌شود و بدین ترتیب موقعیت دو بعدی نقاط مبنای سطح مقطع هر پچ تعیین می‌گردد. شکل (۹) برآش مدل هندسی دو بعدی بهینه به نقاط را نشان می‌دهد. برای بازگشت به فضای سه بعدی، از مقادیر مؤلفه Z ابتدا و انتهای هر پچ استفاده گردیده و مدل دو بعدی سطح مقطع هر پچ به مدل سه بعدی تبدیل می‌شود. سپس با اتصال مدل سه بعدی پچ‌های هر پایه به یکدیگر، مدل سه بعدی نهایی پایه پل تشکیل می‌گردد. در انتها مشابه تصحیح صورت پذیرفته در مدل سه بعدی قطعه بدن پل، از روش برآش خط به نقاط مدل به منظور کاهش اثرات ناشی از پچ بندی ابرنقطه در محل اتصال مقاطع پچ‌ها به یکدیگر استفاده می‌شود.



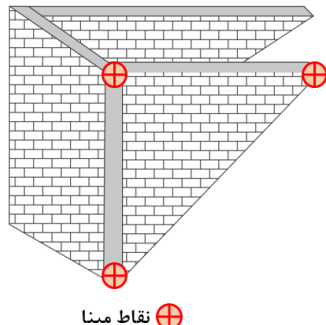
شکل ۹: برآش مدل‌های هندسی به نقاط قطعه پایه

۴- پیاده‌سازی و ارزیابی نتایج

نتایج پیاده‌سازی هر یک از مراحل روند پیشنهادی دردامنه ارائه می‌گردد.

۴-۱- مورد مطالعاتی

در این پژوهش از دو داده ابرنقطه متراکم حاصل از تصاویر پهپاد به منظور ارزیابی الگوریتم پیشنهادی استفاده می‌گردد. این داده‌ها مربوط به دو سازه پل قوسی و تیری در آلمان با طول دهانه‌های متوسط و بلند می‌باشند که در جدول (۱) نمایش داده شده‌اند با استفاده از پهپاد *Mavic 2 pro* مجهز به دوربینی با توانایی اخذ تصاویر با رزولوشن ۲۰ مگاپیکسل، اخذ شده‌اند. کلیه تصاویر با قدرت تفکیک مکانی ۰,۳۶ سانتیمتر، توسط نرم افزار *Pix4Dmapper* پردازش



شکل ۸: نقاط مینا مدل سه بعدی دیوار جانبی قطعه کوله پل

۵-۳- مدلسازی قطعه پایه‌ها

پایه‌های پل بر اساس هندسه مورد استفاده در طراحی آن‌ها به سه دسته پایه مربعی یا مستطیلی، پایه دایره‌ای و پایه ترکیبی دسته بندی می‌شوند. جهت مدلسازی سه بعدی پایه‌های پل با استفاده از الگوریتم نگاشت مینا، در ابتدا لازم است که نقاط مربوط به هر پایه از ابرنقطه حاوی کل پایه‌ها تفکیک و سپس مدل سه بعدی هر کدام از پایه‌ها بطور جداگانه بازسازی گردد. بدین منظور، از یک روش قطعه‌بندی مبتنی بر رشد ناحیه‌ای با استفاده از ویژگی فاصله نقاط، برای جداسازی و تفکیک نقاط مربوط به هر پایه استفاده می‌شود [۲۱ و ۲۲]. جهت مدلسازی سه بعدی دقیق پایه‌ها، تعیین شکل هندسی صحیح سطح مقطع در راستای قائم و سپس برآش مدل دو بعدی متناسب با آن امری ضروری است. با توجه به وضعیت کاملاً عمودی پایه‌های پل نسبت به المان‌های دیگر پل نظری قطعه بدن و همچنین زمین مجاور، نقاط مربوط به هر پایه متناسب با ارتفاع آن، در راستا محور Z به پچ‌های با طول L تفکیک می‌گردند. مقدار طول L متناسب با دقت مورد نظر در فرآیند مدلسازی و همچنین ساختار هندسی پایه‌ها تعیین می‌شود. سپس مدل مربوط به هر پچ بطور جداگانه بازسازی گردیده و در انتهای به یکدیگر متصل می‌گردند. این امر با هدف مدلسازی صحیح پایه‌ها با سطح مقطع ترکیبی صورت می‌گیرد. پس از پچ‌بندی نقاط هر پایه، نقاط هر پچ به صفحه X-Y نگاشت داده می‌شود. سپس متناسب با شکل هندسی مقطع هر

روش پیشنهادی نشان داده شده است.

شده و ابر نقطه رنگی هر پل تولید شده است. در شکل (۱۰)، داده‌های پل مطالعاتی جهت پیاده‌سازی



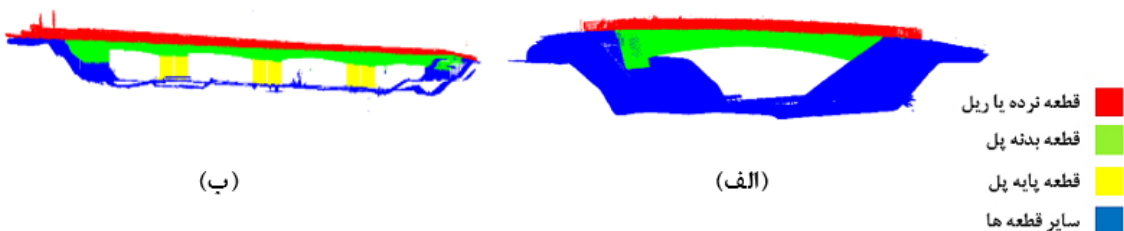
شکل ۱۰: نمای کلی داده مطالعاتی پل شماره یک (الف) و پل شماره دو (ب)

جدول ۱: مشخصات داده مطالعاتی

داده مطالعاتی	تعداد نقاط	فاصله نقاط (متر)	طول سازه (متر)	طول دهانه عرضی (متر)	تعداد پایه	نوع سازه
پل شماره (۱)	۶۱۸۹۴۳۲	۰,۰۱۶	۴۸	۵	-	قوسی
پل شماره (۲)	۴۰۳۸۸۰۸۲	۰,۰۱۶	۱۵۲	۲۸,۲۰	۱۲	قوسی

لحاظ عدم وجود پایه در طراحی هندسی و ساختاری پل، تعداد خوشه‌های مورد نظر در فرآیند قطعه‌بندی برابر با ۳ در نظر گرفته شد. این خوشه‌ها متعلق به قطعات نرده، بدنه و سایر بخش‌های پل (زمین طبیعی و خاکریز) می‌باشد. در داده پل شماره دو با توجه به طراحی و حضور المان‌های پایه در سازه، تعداد خوشه‌ها برابر با ۴ در نظر گرفته شد که خوشه اضافه شده متعلق به قطعه پایه‌های پل می‌باشد. شکل (۱۱) نتایج قطعه‌بندی ابرنقطه داده‌های پل مطالعاتی را نشان می‌دهد.

۴-۲- پیاده‌سازی الگوریتم قطعه‌بندی ابرنقطه نخستین گام در الگوریتم پیشنهادی، قطعه‌بندی ابرنقطه پل و تفکیک چهار جزء اصلی تشکیل‌دهنده آن می‌باشد. بدین منظور ویژگی‌هایی ذکر شده در بخش ۱-۳، با در نظر گرفتن شاعع همسایگی برابر با یک متر، برای هر یک از نقاط موجود در ابرنقطه، محاسبه و استخراج گردید. سپس با استفاده از ویژگی‌های تولید شده و مقادیر ارتفاعی و طیفی نقاط، خوشه بندی فازی *c-means* بر روی نقاط اعمال شده و قطعات اجزاء اصلی پل استخراج گردیدند. در داده پل شماره یک به

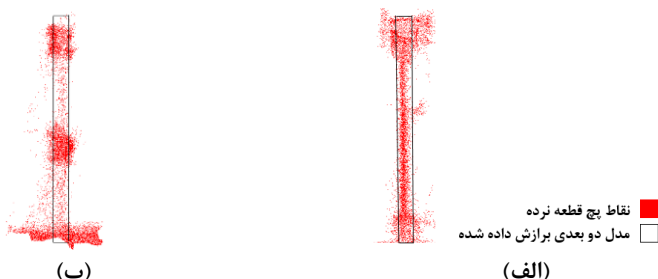


شکل ۱۱: خروجی قطعه‌بندی داده مطالعاتی پل شماره یک (الف) و شماره دو (ب)

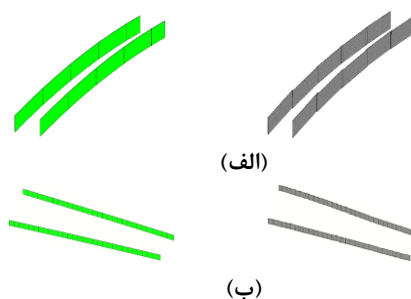
شکل(۱۲) نشان داده شده است. انتخاب ابعاد این مستطیل بر اساس ابعاد متوسط نرده‌های پل در ابر نقطه هر دو داده مطالعاتی است. در مرحله نهایی، با اضافه کردن مؤلفه Y ابتدا و انتهای هر پل به مختصات نقاط مدل دو بعدی، مدل سه بعدی نرده هر پل بازسازی گردید. شکل(۱۳) مدل سه بعدی بازسازی شده قطعه نرده داده‌های پل مطالعاتی نشان می‌دهد. پس از تشکیل مدل سه بعدی قطعه نرده در هر پل، برای اتصال مدل‌ها به یکدیگر و همچنین بازگردانی موقعیت نقاط هر مدل به فضای ابرنقطه اصلی، نقاط مدل هر پل با اعمال معکوس زوایای دوران کلی و جزئی، دوران داده شدند. همانطور که در شکل(۱۳) مشاهده می‌گردد، در محل اتصال مدل‌های هر پل با یکدیگر، تضاریس وجود دارد که با استفاده از درونیابی به کمکتابع فوریه درجه دو و برازش منحنی به هریک از پنج پارامتر Z, Y, X ، Δax و Δaz در مدل‌های بازسازی شده، این نقص برطرف و مدل نهایی تصحیح گردید.

۴-۳- مدلسازی قطعه نرده

برای جدا کردن نقاط مربوط به هر کدام از خطوط نرده طرفین پل‌ها و همچنین تعیین میزان انحنای افقی هریک از آن‌ها در ابرنقطه اصلی، پس از نگاشت نقاط به صفحه $X-Y$ ، یک خط $RANSAC$ به کل نقاط برازش داده شد. سپس نقاط موجود در بافر 0.5 متری اطراف این خط حذف گردیده و سپس خط دیگری به نقاط باقیمانده برازش داده شد. به منظور افزایش دقت در مرحله برازش مدل نرده با استفاده از الگوریتم پیشنهادی و همچنین اعمال و نمایش بهتر انحنای افقی $RANSAC$ به مدل نهایی، هر یک از خطوط برازش داده شده پل بندی گردیده و سپس با استفاده از نقاط ابتدا و انتهای هر پل و در نظر گرفتن یک بافر 0.5 متری اطراف آن‌ها، نقاط هر یک از پل‌ها شناسایی و استخراج شدند. در ادامه پس از دوران نقاط هر پل با استفاده از مقادیر زوایای دوران کلی و جزئی، مدل دو بعدی قطعه نرده به نقاط در صفحه $X-Z$ برازش داده شد. این مدل دو بعدی در هر دو داده پل مطالعاتی، یک مستطیل با ابعاد 1.10×0.05 متر است که در

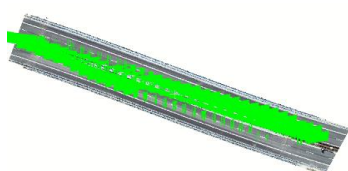


شکل ۱۲: برازش مدل قطعه نرده به ابر نقاط پل شماره یک (الف) و شماره دو (ب)



شکل ۱۳: مدل سه بعدی قطعه نرده پل شماره یک (الف) و شماره دو (ب) قبل (تصویر راست) و بعد (تصویر چپ) از تصحیح اتصال‌ها

انحناء موجود در بخش المان شاه‌تیر پل‌های قوسی است، از خطاهای ناشی از وجود گپ در بخش‌ها و المان‌های مختلف مقطع نیز جلوگیری می‌نماید. پس از نگاشت نقاط بدنۀ به صفحه X-Z، طبق توضیحات بخش ۳-۳، شبکه‌ای مربعی با طول ضلع برابر با پنج سانتی‌متر بر روی نقاط هر مقطع در نظر گرفته شد و نقاط نویز حذف گردید. شکل (۱۵) خروجی مرحله حذف نویز از نقاط را نشان می‌دهد.

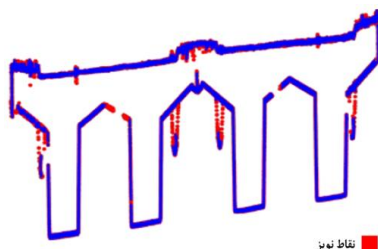


(ب)

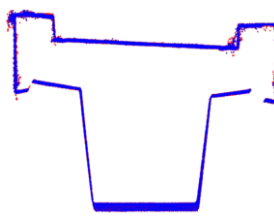


(الف)

شکل ۱۴: خروجی پچ‌بندی قطعه بدنۀ پل شماره یک (الف) و شماره دو (ب)



(ب)



(الف)

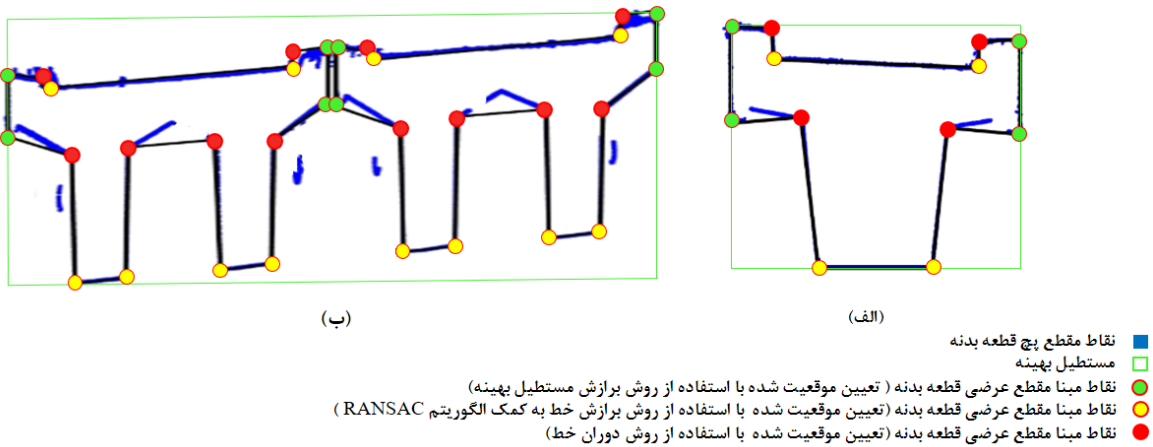
شکل ۱۵: خروجی مرحله حذف نویز از نقاط مقاطع نگاشت شده پل شماره یک (الف) و شماره دو (ب)

بهینه، موقعیت ۴ نقطه مبنا تعیین می‌گردد. پس از حذف نقاط درون همسایگی این اضلاع، دو خط با استفاده از الگوریتم RANSAC به نقاط باقی مانده مقطع برازش داده می‌شود. از آنجا که در مقطع عرضی قطعه بدنۀ پل، المان جاده و صفحه تحتانی المان شاه تیر به ترتیب دارای بزرگترین طول در میان المان‌های مقطع عرضی قطعه بدنۀ هستند، با استفاده از برازش خط RANSAC می‌توان موقعیت ۴ نقطه مبنا دیگر از مدل دوبعدی قطعه بدنۀ پل را مشخص تعیین نمود. این نقاط مبنا مربوط به ابتدا و انتهای المان جاده و همچنین ابتدا و انتهای صفحه تحتانی المان شاه تیر

با توجه به تیپ هندسی مقاطع قطعه بدنۀ پل در داده‌های مطالعاتی، تعداد صحیح نقاط مبنا جهت مدلسازی دو بعدی مقطع قطعه بدنۀ در داده مطالعاتی پل شماره یک برابر با ۱۲ و در داده پل مطالعاتی شماره دو برابر با ۳۲ می‌باشد. موقعیت این نقاط در هر مقطع با استفاده از روش برازش مستطیل بهینه مطابق شکل (۱۶)، برازش خط با استفاده از الگوریتم RANSAC دوران خطوط در فضا دوبعدی و سپس اتصال منظم آن‌ها به یکدیگر تعیین می‌شوند. بدین منظور ابتدا یک مستطیل بهینه به نقاط مقطع برازش داده می‌شود. با استفاده از نقاط موجود در همسایگی اضلاع مستطیل

استخراج می‌شوند. سرانجام مدل دو بعدی مقطع با اتصال منظم نقاط مبنا به یکدیگر براساس دانش موجود در ارتباط با تعداد نقاط مبنا مورد نیاز جهت مدلسازی دو بعدی مقطع عرضی قطعه بدنی هرپل و شماره اختصاص یافته به هر نقطه مبنا در زمان استخراج و تعیین موقعیت صورت می‌پذیرد. پس از استخراج مدل دو بعدی هر یک از مقاطع پیچ‌های قطعه بدنی، مدل مقطع بهینه قطعه بدنی پل با استفاده از شروط بیان شده در بخش ۳-۳ شناسایی و تصحیح گردید که نتایج تصحیح در شکل (۱۶) نشان داده شده است.

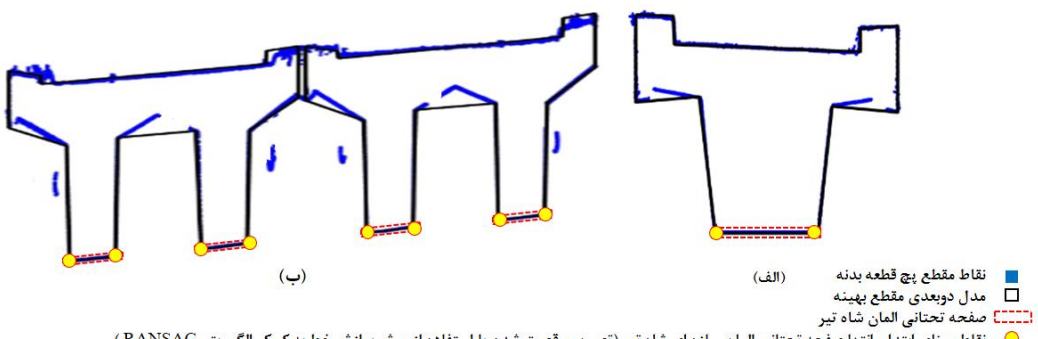
هستند. جهت تعیین موقعیت سایر نقاط مبنا باقی مانده، از نقاط مبنا استخراج شده در مراحل قبل استفاده می‌شود. در این روش، به مبدا نقاط مبنا مذکور و به شعاعی برابر با عرض مقطع قطعه بدنی، خطی در زوایا ۳۶۰° دوران داده می‌شود و در هر مرحله نقاط موجود در همسایگی اطراف خط شمارش و ذخیره می‌گردند. با مشخص شدن زاویه‌ای که تحت آن بیشترین تعداد نقطه در همسایگی اطراف خط قرار داشته‌اند، نقاط انتهایی پاره خط که همان نقاط مبنا مدل دو بعدی مقطع عرضی قطعه بدنی پل هستند،



شکل ۱۶: مدل مقطع بهینه قطعه بدنی پل شماره یک (الف) و شماره دو (ب)

صفحه تحتانی در المان سازه‌ای شاه تیر که در شکل (۱۷) نشان داده شده است، از طریق محاسبه پارامترهای انتقال ($4X$ و $4Z$) میان نقاط کنترل مدل مقطع بهینه و مدل هر مقطع تعیین گردید. برای تعیین موقعیت نقاط مبنای ابتداء و انتهاء صفحه تحتانی نیز از روش برازش خط *RANSAC* استفاده گردید.

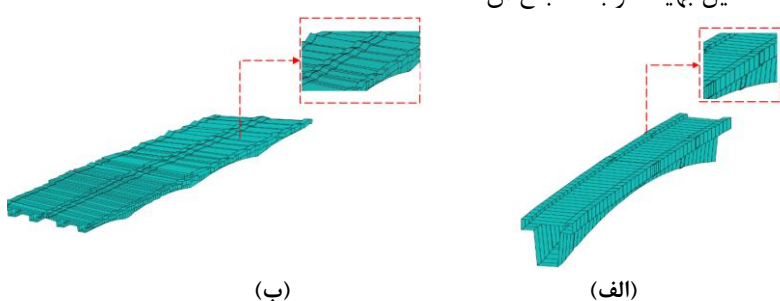
اگر چه میزان جابجایی و تغییر موقعیت نقاط مبنا پس از اعمال تصحیحات، انداز بود، اما جهت دستیابی به دقیقیت حداکثری در مدل سه بعدی نهایی، تصحیح جزئی مدل مقطع بهینه امری ضروری است. در مرحله بعد، با توجه به قوسی بودن پل‌های مطالعاتی، موقعیت صحیح تمامی نقاط مبنا به استثناء نقاط مبنای ابتداء و انتهاء



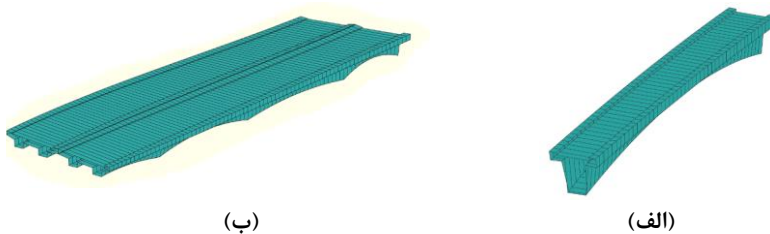
شکل ۱۷: صفحه تحتانی المان شاه تیر پل شماره یک (الف) و شماره دو (ب)

موقعیت یابی نادرست نقاط مبنا می‌گردد. نادرست بودن موقعیت نقاط مبنا و استفاده از آن‌ها به عنوان نقاط کنترل در فرآیند گسترش مدل مقطع بهینه در طول تمامی پچ‌ها، سبب ایجاد تضاریس و اعواعج در بخش‌هایی از مدل نهایی می‌گردد. به منظور رفع اعواعجات و تضاریس موجود، کاهش اثرات ناشی از پچ بندی ابر نقطه و همچنین اعمال بهتر انحنای افقی و عمودی در طول مسیر قطعه بدنه، به مؤلفه‌های X-Y-Z هر گروه از نقاط مبنای مشترک در مقاطع مدل‌های سه بعدی، یک منحنی درجه دو برآش داده شد. شکل (۱۹) مدل سه بعدی نهایی قطعه بدنه پل را پس از برآش منحنی نشان می‌دهد.

در ادامه پس از استخراج مدل دوبعدی صحیح تمامی مقاطع در هر پچ در صفحه X-Z، با استفاده از مقادیر موقعیت Y ابتدا و انتهای هر مقطع، مدل‌های دو بعدی به فضای سه بعدی بازگردانی شدند. جهت تشکیل مدل سه بعدی یکپارچه برای قطعه بدنه پل و همچنین بازگردانی موقعیت مدل‌ها به فضای اولیه، نقاط مدل های بازسازی شده مقاطع هر پچ با استفاده از زوایای دورانی کلی و جزئی پچ مربوطه دوران معکوس داده شده و در انتهای مطابق شکل (۱۸) به یکدیگر متصل گردیدند. همانطور که در مدل‌های خروجی مشاهده می‌شود، بخش‌هایی از مدل دارای اعواعج و تضاریس می‌باشد که علت آن، وجود گپ در ابر نقطه می‌باشد. وجود گپ در ابر نقطه مقاطع سبب تعیین موقعیت اشتباه نقاط و اضلاع مستطیل بهینه و به طبع آن



شکل ۱۸: تضاریس موجود در مدل سه بعدی قطعه بدنه پل شماره یک (الف) و شماره دو (ب)

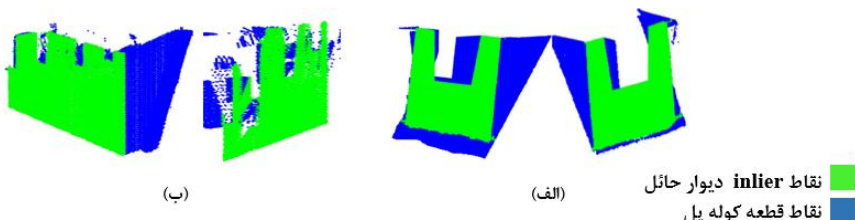


شکل ۱۹: مدل سه بعدی نهایی قطعه بدنه پل شماره یک (الف) و شماره دو (ب)

همین منظور به هریک از ابر نقاط قطعه کوله، یک صفحه با استفاده از الگوریتم RANSAC برآش داده شد. مقدار پارامتر حداقل فاصله برای استخراج نقاط *inlier* برابر 0.02 متر در نظر گرفته شد. با توجه به گستردگی ابعاد دیوار حائل و همچنین بالا بودن تراکم نقاط آن نسبت به مابقی بخش‌های قطعه کوله، با استفاده از روش بیان شده نقاط دیوار حائل به راحتی استخراج گردیدند شکل (۲۰) نتایج استخراج تقاطع نقاط دیوار حائل قطعات کوله ابتدا و انتهای داده‌های پل مطالعاتی را نشان می‌دهد.

۴-۵- مدلسازی قطعه کوله

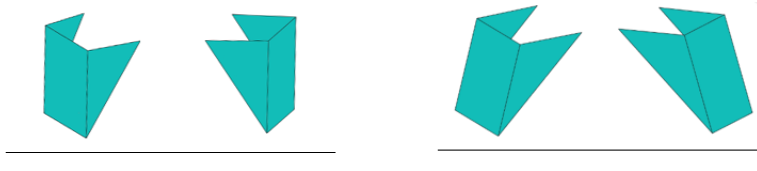
با تشکیل مدل سه بعدی نهایی قطعه بدنه، نقاط هر یک از قطعات کوله از طریق روش بیان شده در بخش ۴-۳ و با استفاده از اطلاعات پیچندی قطعه بدنه پل و مدل سه بعدی آن استخراج گردید که نتایج استخراج این نقاط در شکل (۲۰) نشان داده شده است. این مجموعه نقاط متشکل از نقاط دیوار حائل، دو دیوار جانبی، بخشی از نقاط قطعه بدنه پل و نقاطی از زمین اطراف پل می‌باشد. جهت مدلسازی دیوار حائل کوله، لازم است که نقاط آن بطور جداگانه استخراج گرددند. به



شکل ۲۰: قطعات کوله ابتدا و انتهای پل شماره یک (الف) و شماره دو (ب)

گردید. در شکل (۲۱) مدل سه بعدی قطعات کوله پل داده‌های پل مطالعاتی را نشان داده شده است. پس از تشکیل مدل سه بعدی نهایی قطعه کوله، جهت اتصال صحیح آن به بدنه، موقعیت نقاط محل تقاطع صفحات دیوار حائل ابتدا و انتهای پل با خطوط هر یک از نقاط مبنای مشترک مقاطع تشکیل دهنده قطعه بدنه تعیین گردید و سپس مطابق شکل (۲۲) مدل‌های بازسازی شده دو قطعه در موقعیت نقاط محل تقاطع به یکدیگر متصل گردیدند.

پس از نگاشت نقاط دیوارهای حائل به صفحه X-Z، یک مستطیل بهینه به هریک از نقاط دیوار حائل قطعه کوله برآش داده شد که به عنوان مدل دوبعدی دیوار حائل است. سپس با استفاده از مقادیر مؤلفه Y نقاط *inlier* مدل سه بعدی دیوار حائل بازسازی گردید. جهت تشکیل مدل سه بعدی دیوارهای مایل قطعه کوله نیز براساس فرض بیان شده در بخش ۴-۳ از موقعیت نقاط مبنای مدل سه بعدی دیوار حائل و همچنین نقاط پیچهای ابتدا و انتهای مدل سه بعدی قطعه نرده پل، استفاده



(ب)

(الف)

شکل ۲۱: مدل سه‌بعدی قطعات کوله پل شماره یک (الف) و شماره دو (ب)



(ب)

(الف)

شکل ۲۲: تقاطع مدل‌های سه‌بعدی قطعات بدنه و کوله پل شماره یک (الف) و شماره دو (ب)

مطابق شکل (۲۴) یک مستطیل بهینه به نقاط نگاشت شده برازش داده شد. در ادامه پس از تعیین موقعیت دو بعدی نقاط مبنای سطح مقطع هر پیچ، از مقادیر مؤلفه Z نقاط ابتدا و انتهای هر پیچ، جهت بازگشت به فضای ابرنقطه اصلی و بازسازی مدل سه‌بعدی پایه، و مدل دو بعدی سطح مقطع هر پایه به مدل سه بعدی تبدیل شد. همچنین به منظور رفع اعوجاجات و تضاریس موجود و همچنین کاهش اثرات ناشی از پیچ‌بندی نقاط هر پایه، به مؤلفه های X-Y-Z هر گروه از نقاط مبنای مشترک در مقاطع مدل‌های سه‌بعدی، یک خط برازش داده شد. شکل (۲۵) مدل سه‌بعدی نهایی قطعه پایه داده شماره دو را نشان می‌هد.

۶-۴- مدلسازی قطعه پایه

جهت ساخت مدل سه‌بعدی هریک از پایه‌ها در داده پل شماره دو، با استفاده از روش بیان شده در بخش ۵-۳، از یک روش قطعه بندی مبتنی بر رشد ناحیه، برای استخراج نقاط هر پایه بطور جداگانه استفاده گردید. با توجه به فاصله حداقل ۱ متر میان پایه‌ها پل در طراحی، میزان شعاع جستجو در الگوریتم قطعه بندی مبتنی بر رشد ناحیه برابر ۱ متر در نظر گرفته شد. نتیجه قطعه‌بندی پایه پل شماره دو در شکل (۲۳) نشان داده شده است.

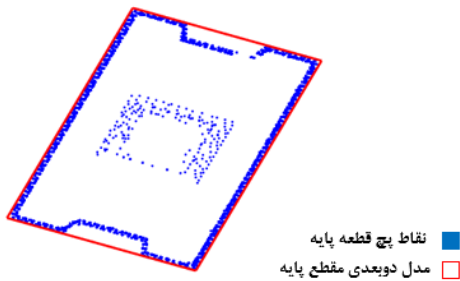
جهت ساخت مدل سه‌بعدی هر پایه، نقاط هر پایه پس از تفکیک، به پیچ‌هایی به طول ۱ متر در راستای Z تفکیک گردیده و سپس به صفحه X-Z نگاشت داده شدند. جهت بازسازی مدل دو بعدی مقطع هر پایه،



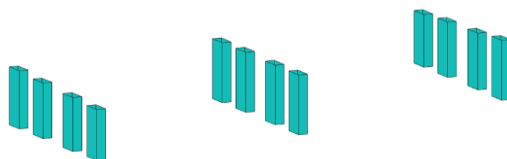
(ب)

(الف)

شکل ۲۳: نقاط قطعه پایه پل شماره دو (الف) پیش از قطعه بندی و تفکیک و (ب) پس از قطعه بندی و تفکیک



شکل ۲۴: برازش مستطیل بھینه در صفحه X-Z به نقاط پایه داده پل شماره دو



شکل ۲۵: مدل سه بعدی قطعه پایه داده پل شماره دو

بخش قطعه بندي داده مطالعاتي را نشان می دهد. برای هر مجموعه داده، ماتریس درهم ریختگی^۱ و همچنین متريک استاندارد كيفيت كامل بودن^۲ با استفاده از رابطه (۶) محاسبه شده است.

در رابطه (۶)، پارامتر TP نمونه مثبت و صحیح (قطعاتی که به درستی شناسایی شده اند) و FN نمونه منفی و اشتباه (قطعاتی که شناسایی نشده اند) می باشد.

$$\text{Completeness} = \frac{TP}{TP + FN} \quad \text{رابطه (۶)}$$

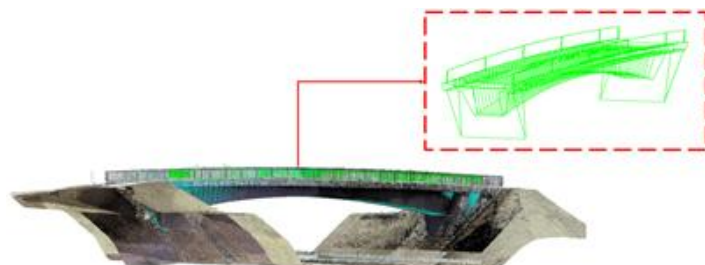
در پایان مدل سه بعدی نهايی سازه پل، با اتصال مدل های هر يك از قطعات به يكديگر با استفاده از روش شرح داده شده در بخش ۴-۳، تشکيل می گردد. در شکل (۲۶ و ۲۷) مدل سه بعدی سازه داده های پل مطالعاتي نمایش داده شده است. از آنجا که در اين امر از مختصات نقاط مبنی مدل سه بعدی قطعات استفاده می گردد، دقت و صحت مؤلفه های مختصاتی اين نقاط تاثير بسزياري در تعیين موقعیت نقاط محل اتصال قطعات خواهد داشت. در پایان خروجی مدل سه بعدی نهايی سازه پل در فرمت برداری CAD(dxf) ارائه می گردد.

۷-۴- ارزیابی نتایج

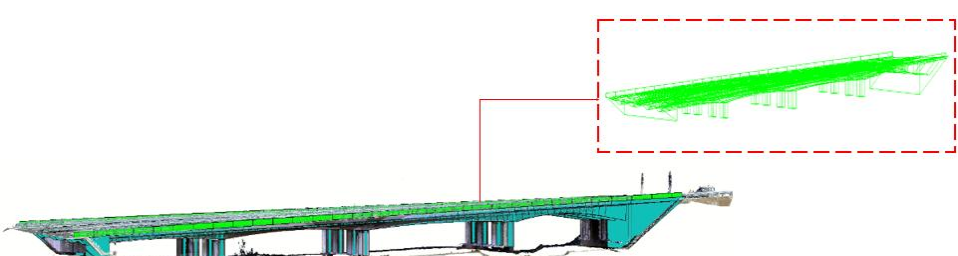
جهت ارزیابی دقت الگوریتم پیشنهادی در بخش قطعه بندي از مقایسه بين قطعات خروجی از فرآيند قطعه بندي پیشنهادی و قطعاتی که بصورت دستی از داده های مطالعاتی تولید شدند، استفاده گردید. جداول (۳ و ۲) به ترتیب نتایج ارزیابی الگوریتم پیشنهادی در

^۱ Confusion Matrix

^۲ completeness



شکل ۲۶: مدل سه‌بعدی سازه پل شماره یک



شکل ۲۷: مدل سه‌بعدی سازه پل شماره دو

جدول ۲: ارزیابی دقیق قطعه‌بندی داده پل مطالعاتی شماره یک

قطعه	نرد	بدنه	سایر	درصد کامل بودن
نرد	۲۸۶۹۵۶	۷۹۰۶	۱۵۲۲	۹۶,۸۱
بدنه	۴۳۵۵۰	۱۴۴۵۰۰۰	۸۳۸۶	۹۶,۵۳
سایر	۸۶۰۹	۱۱۳۸۸۲	۴۲۷۳۶۲۱	۹۷,۲۱
مجموع	۳۳۹۱۱۵	۱۵۶۶۷۸۸	۴۲۸۳۵۲۹	۹۶,۸۵

جدول ۳: ارزیابی دقیق قطعه‌بندی داده پل مطالعاتی شماره دو

قطعه	نرد	بدنه	پایه	سایر	درصد کامل بودن
نرد	۱۱۰۶۱۳۳	۶۷۵۱۷	۱۱۴۰	۱۴۸۳۵	۹۲,۹۸
بدنه	۵۲۰۶۴۷	۲۳۰۰۱۷۸۶	۴۸۹۴۴	۳۰۲۲۲۶	۹۶,۳۴
پایه	۱۹۹۲	۲۲۱۶۵۹	۱۷۱۶۴۵۹	۳۶۳۸۳	۸۶,۸۴
سایر	۱۱۷۱۲۸	۲۴۱۸۶۵۶	۶۶۳۴۸	۱۰۷۴۶۲۲۹	۸۰,۵۰
مجموع	۱۷۴۵۹۰۰	۲۵۷۰۹۶۱۸	۱۸۳۲۸۹۱	۱۱۰۹۹۶۷۳	۸۹,۱۶

الگوریتم پیشنهادی در بخش مدلسازی، از مقایسه فواصل و طول‌های المان‌های موجود در پلان‌های طراحی (مدل مرجع) و مدل سه‌بعدی تولید شده استفاده گردید. در جدول (۴) نتایج این مقایسه برای المان‌های مختلف ارائه شده است. متوسط خطای میانگین و انحراف معیار برای هر دو پل به ترتیب برابر 0.011 و 0.03 متر است. این مقادیر، نشان دهنده کیفیت بالای مدل سه‌بعدی بازسازی شده با استفاده از الگوریتم دانش‌مبنای پیشنهادی می‌باشد. در این میان بیشترین مقدار اختلاف بین مقادیر مدل سه‌بعدی و مقادیر حقیقی مربوط به بخش جاده و برابر با 4.5 سانتی‌متر است که دلیل آن، وجود نقاط نوبیز متراکم در انتهای طرفین جاده در ابرنقطه قطعه بدنی پل می‌باشد. به دلیل عدم وجود معیار و روش مشترک در ارزیابی مدل‌های نهایی در این مقاله و سایر مطالعات، به منظور مقایسه عملکرد روش پیشنهادی، تنها دقت نهایی در مراحل قطعه‌بندی و مدلسازی برای روش پیشنهادی و تحقیقات پیشین [۱۴] و [۱۵] در جدول (۵) ارائه شده‌اند.

دستیابی به متوسط دقت $92/46$ ٪ در تفکیک قطعات سازه پل، برای هر دو داده مطالعاتی، باعث افزایش دقت در مدلسازی قطعات می‌شود. با توجه به نتایج، در هر دو داده مطالعاتی قطعه بدنی پل نسبت به سایر قطعات به خوبی استخراج شده است. این امر به دلیل یکپارچگی این المان و همچنین متفاوت بودن ویژگی‌های تولید شده نقاط این قطعه در مقابل ویژگی‌های نقاط قطعات متصل به آن شامل نرده و پایه با توجه به طراحی هندسی آن می‌باشد. در داده مطالعاتی پل شماره دو به جهت قرارگیری و اتصال بخشی از پایه‌ها در میان المان‌های قوسی بدنی پل، دقت استخراج نقاط این المان و همچنین نقاط قطعه بدنی متصل به آن کاهش یافته است. همچنین یکی از دلایل کاهش دقت در شناسایی و تفکیک نقاط قطعه نرده در داده مطالعاتی پل شماره دو، وجود نقاط مربوط به علائم راهنمایی و همچنین وسائل نقلیه در مجاورت بخشی از المان نرده در طول مسیر پل می‌باشد اشتباهاً به عنوان نقاط نرده استخراج گردیدند. جهت ارزیابی دقت

جدول ۴: ارزیابی دقت مدلسازی هندسی داده مطالعاتی پل

پیاده رو	جاده		آبرو		المان تیری		صحفه تحتانی المان بدنی		المان سازه ای مجموعه داده	
	مدل مرجع	مدل بازسازی شده	مدل مرجع	مدل بازسازی شده	مدل مرجع	مدل بازسازی شده	مدل مرجع	مدل بازسازی شده		
(متر)	(متر)	(متر)	(متر)	(متر)	(متر)	(متر)	(متر)	(متر)		
۰,۷۵	۰,۷۳	۳,۵۰	۳,۵۵	۰,۲۰	۰,۱۹	۰,۶۵	۰,۶۸	۲	۱,۹۸	داده مطالعاتی پل (۱)
۱,۷۵	۱,۷۱	۱۰,۵۰	۱۰,۴۶	۰,۲۰	۰,۱۶	۰,۶۵	۰,۶۱	۲,۲۰	۲,۱۹	داده مطالعاتی پل (۲)
۰,۰۳		۰,۰۴۵		۰,۰۲۵		۰,۰۳۵		۰,۰۱۵		میانگین خطای (متر)
۰,۰۱۴		۰,۰۰۷		۰,۰۲۱		۰,۰۰۷		۰,۰۰۷		انحراف معیار (متر)

جدول ۵: مقایسه دقت فرآیند قطعه‌بندی و مدلسازی

در صد کامل بودن قطعه‌بندی ابرنقطه		در صد کامل بودن قطعه‌بندی ابرنقطه	
راهکار ارائه شده در مطالعه [۱۴]	راهکار پیشنهادی	راهکار ارائه شده در مطالعه [۱۵]	راهکار پیشنهادی
۹۵,۶	۹۵,۲۵	۹۲,۴۶	۸۲,۹۰

RANSAC، پارامترهای مربوط به مدلسازی مقاطع قطعه بدن و کوله پل، مقدار بهینه پارامترها با استفاده از روش‌های بهینه‌یابی در تمامی قطعات مربوط به پل-های مختلف و متنوع تعیین گردیدند که این امر علاوه بر افزایش سطح اتوماسیون الگوریتم پیشنهادی، باعث انعطاف بیشتر آن در مواجه با پلهایی با طراحی هندسی خاص و پیچیده می‌گردد.

مدت زمان لازم جهت اجرای فرآیند بازسازی مدل سه بعدی پل با استفاده از الگوریتم پیشنهادی، وابسته به مواردی نظیر طول و گستردگی دهانه پل، حجم ابر نقطه ورودی و سطح جزئیات مطلوب در روند بازسازی مدل‌های سه بعدی است. در این میان بیشترین مدت زمان مختص به بازسازی سه بعدی قطعه بدن پل است. استفاده از پیش‌پردازش حذف نقاط نویز مقاطع، انتخاب طول مقطع کوتاه جهت مدلسازی صحیح بخش اتحاداً در پل‌های قوسی و همچنین تعیین موقعیت نقاط مبنای با استفاده از روش‌های شرح داده شده در بخش ۳-۳، از جمله عوامل موثر در کاهش یا افزایش مدت زمان در روند دست یابی به مدل سه بعدی قطعه بدن به شمار می‌روند. در بحث مدلسازی قطعه نرده، مدت زمان لازم جهت تشكیل مدل سه بعدی، متناسب با حجم ابر نقطه ورودی و تراکم نقاط در هر پیچ و همچنین تلوانی در نظر گرفته شده در تعیین زوایای دوران جزئی حول محورهای X و Z می‌باشد. در ارتباط با سایر موارد شامل مدلسازی قطعه کوله و پایه، به دلیل استفاده از روش‌های بهینه و برآش اشکال هندسی پایه در بازسازی مدل سه بعدی، مدت زمان اجرای الگوریتم و دست یابی به مدل‌های سه بعدی بسیار کوتاه می‌باشد. بطور کلی مدت زمان فرآیند قطعه بندی (شامل تولید ویژگی‌های ذکر شده در بخش ۱-۳ و اجرای فرآیند خوش بندی فازی) برای داده پل شماره ۱ برابر ۲۵ دقیقه و داده پل شماره ۲ برابر با ۷۰ دقیقه بوده است. همچنین، مدت زمان لازم جهت مدلسازی سه بعدی هر یک از داده‌های پل مطالعاتی شماره یک و دو به

بطور کلی از جمله چالش‌های موجود در زمینه بازسازی مدل سه بعدی پل با استفاده از الگوریتم پیشنهادی که تاثیر قابل توجهی در کیفیت و دقت مدل نهایی دارند، می‌توان به دو دسته کلی چالش‌های موجود در ابر نقطه و چالش‌های موجود در تعیین برخی از پارامترهای الگوریتم اشاره کرد. چالش‌های موجود در ابر نقطه که شامل وجود نقاط نویز و نقصان ابر نقطه می‌باشند، از جمله موارد اجتناب ناپذیر در ابر نقاط حاصل از تصاویر پهپاد است. جهت کاهش تاثیر این چالش‌ها در میزان کیفیت و دقت مدل سه بعدی نهایی، از تکنیک‌های مختلفی نظیر پیش‌پردازش و حذف نویز مقاطع، برآش مستطیل بهینه و یافتن مدل مقطع بهینه در روند مدلسازی سه بعدی با استفاده از الگوریتم پیشنهادی استفاده گردید. شدت وجود این موانع رابطه مستقیم با وسعت و نوع طراحی المان سازه ای پل، کیفیت تصویر برداری و پردازش‌های موجود در فرآیند تولید ابر نقطه دارد، بگونه‌ای که به عنوان مثال در داده پل شماره ۲ به دلیل گستردگی المان‌های سازه ای و بالا بودن طول دهانه پل، در بخش‌هایی از پل به دلیل مشکلاتی در پرواز پهپاد و عدم اخذ تصویر در زوایای مناسب با مشکلات گپ بسیاری مواجه شدیم. این امر در بخش مدل سازی قطعه بدن پل، سبب کاهش تعداد مدل‌های دو بعدی مقاطع مورد نظر در یک پچ به دلیل کمبود نقاط موجود در بخش‌های یک مقطع گردید. گاهاً میزان و شدت وجود موانع موجود در فضا ابر نقطه به حدی است که پس از انجام پیش‌پردازش‌ها و موارد بیان شده نیز همچنان مانع نظیر نویز در بخش‌های از فضای ابر نقطه باقی می‌ماند که سبب مشکلاتی نظیر کاهش دقت در مدل سازی دو بعدی مقاطع پچ های مختلف پل می‌گردد. کاهش دقت در مدل سازی دو بعدی مقاطع نیز سبب کاهش کیفیت مدل مقطع بهینه گردیده و گسترش آن در طول پچ‌های قطعه بدن، تاثیر بسزایی در دقت مدل سه بعدی نهایی دارد. در رابطه با چالش‌های موجود در تعیین برخی پارامترهای الگوریتم نظیر طول پچ‌های خطوط

باشد، به طوری که برای دو داده مطالعاتی، متوسط خطای میانگین و انحراف معیار برای هر دو پل به ترتیب برابر 0.03 متر و 0.11 متر است. همچنین به منظور کاهش خطا به دلیل وجود چالش‌هایی نظری کیفیت داده ورودی و یا تعیین پارامترهای بهینه، راهکارهایی در این تحقیق ارائه شد که در مطالعات آتی می‌توانند مورد بررسی بیشتری قرار گیرند.

تشکر و قدردانی

نویسنده‌گان این مقاله بر خود لازم می‌دانند از حمایت-های شرکت *Viscan Solutions GmbH* (www.viscan.de) برای در اختیار قرار دادن داده‌های مطالعاتی مورد نیاز جهت انجام این پژوهش، تشکر و قدردانی نمایند.

ترتیب برابر 115 دقیقه و 295 دقیقه بوده است.

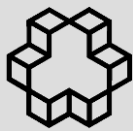
۵- نتایج و پیشنهادها

مدلسازی سه‌بعدی سازه پل از ابر نقاط، یک موضوع جدید در حوزه فتوگرامتری است. بدین منظور، استفاده از الگوریتم نگاشتمبنا در فرآیند مدلسازی سه بعدی، باعث افزایش سطح اتوماسیون و دستیابی به دقت و کیفیت بالا در مدل نهایی سازه‌های پل می‌شود. روش پیشنهادی ارائه شده در این تحقیق، شامل دو مرحله قطعه‌بندی و مدلسازی سلسله مراتبی (جز به کل) است و قادر است انواع مختلف پل نظری پل‌های ساده و یا قوسی را بازسازی نماید. در روش پیشنهادی، به دلیل بکارگیری روند نگاشتمبنا، پیچیدگی مدلسازی سه بعدی کاهش یافته و مدل اجزای پل به صورت جداگانه و همچنین در اتصال به یکدیگر مورد کنترل و ارزیابی قرار گرفته تا مدل یکپارچه پل دارای حداکثر دقت

مراجع

- [1] M. Gholami, A. R. M. Sam, and J. M. Yatim, “Assessment of Bridge Management System in Iran”, 2nd International Conference on Rehabilitation and Maintenance in Civil Engineering, Indonesia, 2012.
- [2] A. Nyaruhuma, M. Gerke, G. Vosselman, and E. Mtalo, “Verification of 2D building outlines using oblique airborne images”, ISPRS Journal of Photogrammetry and Remote Sensing, Vol. 71, pp. 62-75, 2012.
- [3] A. Turlapati, B. Gokaraju, Q. Du, N. Younan, and J. Aanstoos, “A Hybrid Approach for Building Extraction from Spaceborne Multi-Angular Optical Imagery”, Journal of Selected Topics in Applied Earth Observations and Remote Sensing, Vol. 5, pp. 89-100, 2012.
- [4] Ch. Torresan, A. Berton, F. Carotenuto, S. F. Di Gennaro, B. Gioli, A. Matese, F. Miglietta, C. Vagnoli, A. Zaldei, and L. Wallace, “Forestry applications of UAVs in Europe: a review”, International Journal of Remote Sensing, Vol. 38, pp. 2427-2447, 2016.
- [5] W. Gruszczyński, W. Matwij, and P. Ćwiąkała, “Comparison of low-altitude UAV photogrammetry with terrestrial laser scanning as data-source methods for terrain covered in low vegetation”, ISPRS Journal of Photogrammetry and Remote Sensing, Vol. 126, pp. 168-179, 2017.
- [6] Sh. Sahebdivan, H. Arefi, and M. Maboudi, “Rail Track Detection and Projection-Based 3D Modeling from UAV Point Cloud”, Sensors, Vol. 20, 2020.
- [7] Lu. Deng, Wei. Wang, and Yang. Yu, “State-of-The-Art Review on the Causes and Mechanisms of Bridge Collapse”, Journal of Performance of Constructed Facilities, Vol. 30, 2016.
- [8] P. Cosmin, B. Täljsten, T. Blanksvärd, and L. Elfgren, “3D reconstruction of existing concrete bridges using optical methods”, journal of Structure and Infrastructure Engineering, pp. 912-924, 2019.
- [9] M. Pepe, D. Costantino, N. Crochetto, and A. R. Garofalo, “3D Modeling of Roman Bridge by The Integration of Terrestrial and UAV Photogrammetric Survey for Structural

- Analysis Purpose”, International Archives of the Photogrammetry, Remote Sensing and Spatial Information Sciences, Vol. XLII-2/W17, pp. 249-255, 2019.*
- [10] *S. Chen, L. Truong-Hong, D. Laefer, and E. Mangina, “Automated Bridge Deck Evaluation through UAV Derived Point Cloud”, 2018 Civil Engineering Research Conference, Ireland, 2018.*
- [11] *P. Yue, Y. Dong, D. Wang, A. Chen, and Z. Ye, “Three-Dimensional Reconstruction of Structural Surface Model of Heritage Bridges Using UAV-Based Photogrammetric Point Clouds”, journal of Remote Sensing, 2019.*
- [12] *R. Lu, L. Brilakis, and C. R. Middleton, “Detection of Structural Components in Point Clouds of Existing RC Bridges”, Journal of Computer-Aided Civil and Infrastructure Engineering, Vol. 34, pp. 191-212, 2019.*
- [13] *C. Ye, S. Acikgoz, S. Pendrigh, E. Riley, and M. J. DeJong, “Mapping deformations and inferring movements of masonry arch bridges using point cloud data”, journal of Engineering Structures, Vol. 173, pp. 530-545, 2018.*
- [14] *Y. Yan, B. Guldur, and J. F. Hajjar, “Automated Structural Modelling of Bridges from Laser Scanning”, Structures Congress, Colorado, 2017.*
- [15] *A. Sánchez Rodríguez, S. Esser, J. Abualdenien, A. Borrmann, and B. Riveiro, “From point cloud to IFC: A masonry arch bridge case study”, 27th international workshop on intelligent computing in engineering Conference, Berlin, 2020.*
- [16] *J. C. Dunn, “A Fuzzy Relative of the ISODATA Process and Its Use in detecting Compact Well-Separated Clusters”, Journal of Cybernetics, Vol. 3, pp. 32-57, 1973.*
- [17] *J. C. Bezdek, Pattern Recognition with Fuzzy Objective Function Algorithms. Utah State: publication of Springer, 1981.*
- [18] *J. Zhuang, X. Liu and X. Hou, “The Fuzzy Clustering Algorithm Based on Weighted Distance Measures for Point Cloud Segmentation”, 2008 Second International Symposium on Intelligent Information Technology Application, Shanghai, 2008.*
- [19] *J. Zhao, D. Li, and Y. Wang, “Ancient Architecture Point Cloud Data Segmentation Based on Modified Fuzzy C-Means Clustering Algorithm”, International Conference on Earth Observation Data Processing and Analysis, Wuhan, 2008.*
- [20] *H. Amini Amirkolaee, and H. Arefi, “3D Semantic Labeling using Region Growing Segmentation Based on Structural and Geometric Attributes”, JGST, Vol. 7(2), pp. 1-16, 2017.*
- [21] *T. Rabbani, F. Van Den Heuvel, and G. Vosselmann, “Segmentation of point clouds using smoothness constraint”, International Archives of Photogrammetry, Remote Sensing and Spatial Information Sciences, Vol. 36(5), 2006.*
- [22] *A. Jagannathan, and E. L. Miller, “Three-dimensional surface mesh segmentation using curvedness-based region growing approach”, IEEE Transactions on Pattern Analysis and Machine Intelligence, Vol. 29(12), pp. 2195-2204, 2007.*



Bridge Modeling using Segmentation of Point Cloud Captured from Photogrammetric UAV

Mansour Mehranfar¹, Hossein Arefi^{2}, Fatemeh Alidoost³*

1- Msc student of Photogrammetry, School of Surveying and Geospatial Engineering, College of Engineering, University of Tehran

2- Assistant Professor in School of Surveying and Geospatial Engineering, College of Engineering, University of Tehran

3- Research Associate, University of Applied Science (HTF), Stuttgart

Abstract

In recent years, great efforts have been made to generate 3D models of urban structures in photogrammetry and remote sensing. 3D reconstruction of the bridge, as one of the most important urban structures in transportation systems, has been neglected because of its geometric and structural complexity. Due to the UAV technology development in spatial data acquisition, in this study, the point clouds generated from UAV-based images are used for 3D modeling of the four main elements of a bridge structure, including the railing, body, base and abutment elements. For this, a knowledge-based algorithm is proposed to provide 3D models of different types of bridge structures in GIS-based data format using the knowledge in the shape, structure and geometric relationships between the bridge's elements. First, the fuzzy c-means clustering method including height and spectral values as well as point-based features such as the 3D density, normal vectors and planarity is used to segment the point cloud. Next, a projection-based reconstruction technique, which is developed based on the geometric and structural features of each bridge element, is proposed to generate a 3D model for that element. The proposed reconstruction workflow includes the projection of point clouds to a 2D space, fitting the primitive geometric models to 2D points, locating the primitive coordinates of the models in the 2D space, and then developing 2D models into 3D space. To evaluate the proposed method, the dimensions of the structural elements in the bridge design plans are compared with the dimensions of the elements in the generated 3D model. Despite the many challenges in modeling steps, the results of this study indicate a high accuracy and ability for the proposed algorithm in 3D modeling of bridges with different geometry and designs, with a mean error and a standard deviation of about 3 cm and 1cm, respectively.

Key words : Photogrammetry, 3D Modelling, Bridge, Projection-based Algorithm, UAV Point Cloud.

Correspondence Address: School of Surveying and Geospatial Engineering, College of Engineering, University of Tehran, Tehran, Iran.

Tel. : +98 21 61114523.

Email : hossein.arefi@ut.ac.ir